



# 贪心算法的实例

## 哈夫曼编码



# Huffman Codes – 用于文件压缩

[[Example]] Suppose our text is a string of length 1000 that comprises the characters  $a$ ,  $u$ ,  $x$ , and  $z$ . Then it will take **8000** bits to store the string as 1000 one-byte characters.

We may encode the symbols as  $a = 00$ ,  $u = 01$ ,  $x = 10$ ,  $z = 11$ . For example,  $aaaxuaxz$  is encoded as  $0000001001001011$ . Then the space taken by the string with length 1000 will be 2000 bits + space for code table. */\*  $\lceil \log C \rceil$  bits are needed in a standard encoding where  $C$  is the size of the character set \*/*

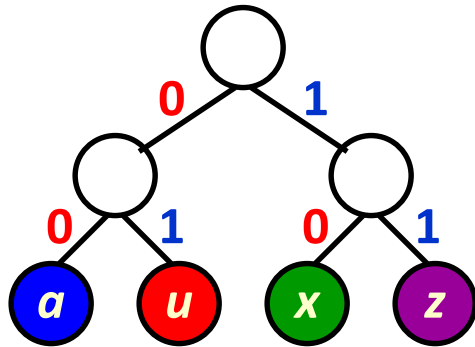
➤ **frequency** ::= number of occurrences of a symbol.

In string  $aaaxuaxz$ ,  $f(a) = 4$ ,  $f(u) = 1$ ,  $f(x) = 2$ ,  $f(z) = 1$ .

The size of the coded string can be reduced using variable-length codes, for example,  $a = 0$ ,  $u = 110$ ,  $x = 10$ ,  $z = 111$ . ➡  $00010110010111$

**Note:** If all the characters occur with the same frequency, then there are not likely to be any savings.

Representation of the original code in a binary tree /\* trie \*/



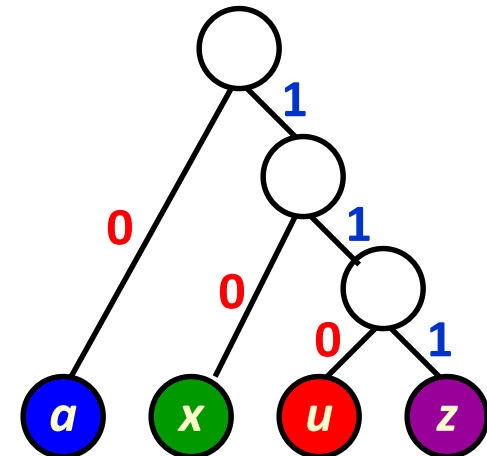
$$\text{Cost} (aaaxuaxz \rightarrow 00010110010111) = 1 \times 4 + 3 \times 1 + 2 \times 2 + 3 \times 1 = 14$$

Any sequence of bits can always be decoded unambiguously if the characters are placed only at the leaves of a *full tree* – such kind of code is called *prefix code*.

➤ If character  $C_i$  is at depth  $d_i$  and occurs  $f_i$  times, then the **cost** of the code =  $\sum d_i f_i$ .

$$\text{Cost} (aaaxuaxz \rightarrow 0000001001001011) = 2 \times 4 + 2 \times 1 + 2 \times 2 + 2 \times 1 = 16$$

Representation of the optimal code in a binary tree



Find the full binary tree of minimum total cost where all characters are contained in the leaves.



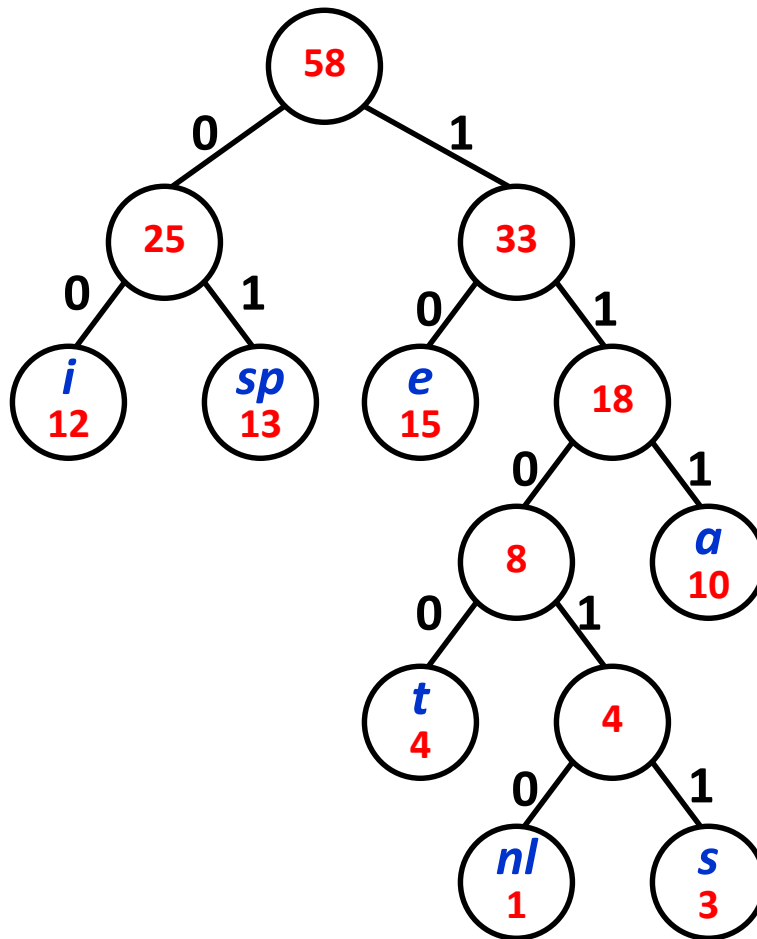
# Huffman's Algorithm (1952)

```
void Huffman ( PriorityQueue heap[ ], int C )
{
    consider the C characters as C single node binary trees,
    and initialize them into a min heap;
    for ( i = 1; i < C; i++ ) {
        create a new node;
        /* be greedy here */
        delete root from min heap and attach it to left_child of node;
        delete root from min heap and attach it to right_child of node;
        weight of node = sum of weights of its children;
        /* weight of a tree = sum of the frequencies of its leaves */
        insert node into min heap;
    }
}
```

$$T = O( C \log C )$$

[[Example]]

$C_i$	$a$	$e$	$i$	$s$	$t$	$sp$	$nl$
$f_i$	10	15	12	3	4	13	1



$a$  : 111

$e$  : 10

$i$  : 00

$s$  : 11011

$t$  : 1100

$sp$  : 01

$nl$  : 11010

$$\begin{aligned}
 \text{Cost} &= 3 \times 10 + 2 \times 15 \\
 &\quad + 2 \times 12 + 5 \times 3 \\
 &\quad + 4 \times 4 + 2 \times 13 \\
 &\quad + 5 \times 1 \\
 &= 146
 \end{aligned}$$



# 哈夫曼编码

**哈夫曼编码**是广泛地用于数据文件压缩的十分有效的编码方法。其压缩率通常在20%~90%之间。哈夫曼编码算法用字符在文件中出现的频率表来建立一个用0, 1串表示各字符的最优表示方式。

某一数据文件中字符出现的频率表如下：

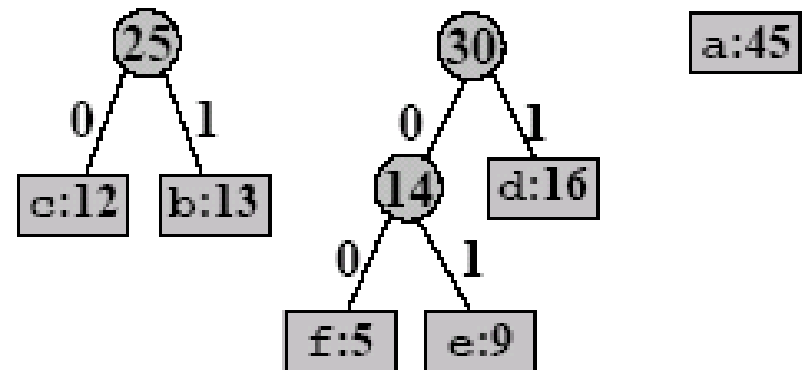
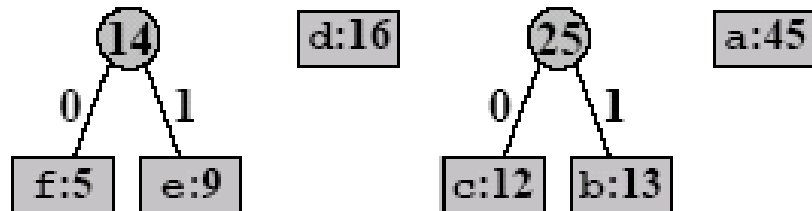
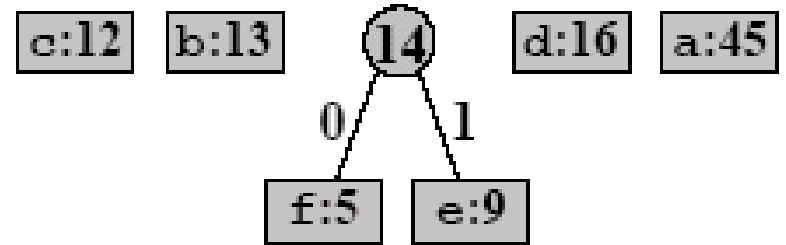
	a	b	c	d	e	f
频率(千次)	45	13	12	16	9	5
定长码	000	001	010	011	100	101
变长码	0	101	100	111	1101	1100

**使用定长码：**则表示6个不同的字符需要3位： $a=000, b=001, \dots, f=101$ 。用这种方法对整个文件进行编码需要300,000位。

**使用变长码：**字符a用1位串0表示，而字符f用4位串1100表示。整个文件的总码长为： $(45 \times 1 + 13 \times 3 + 12 \times 3 + 16 \times 3 + 9 \times 4 + 5 \times 4) \times 1000 = 224,000$ 位。它比用定长码方案好，总码长减少约25%。

# Example of Huffman codes

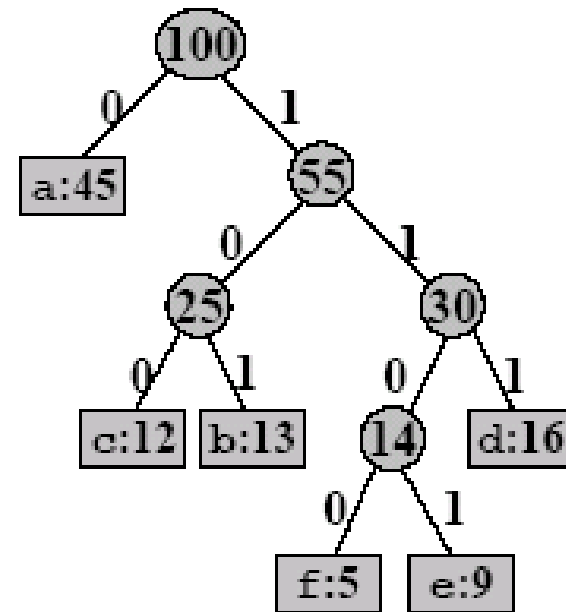
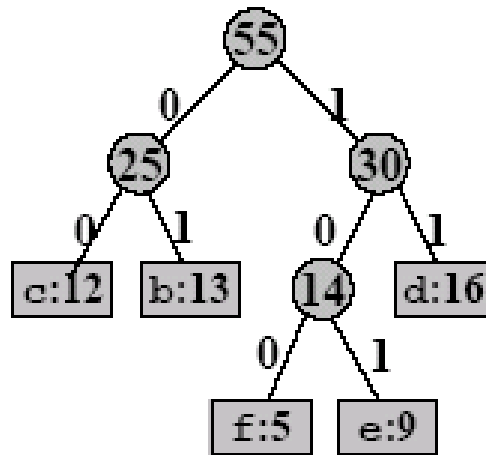
f:5 e:9 c:12 b:13 d:16 a:45



# Example of Huffman codes

- (cont.)

a:45







### 3、哈夫曼算法的正确性

要证明哈夫曼算法的正确性，只要证明最优前缀码问题具有贪心选择性质和最优子结构性质。

(1) 贪心选择性质

(2) 最优子结构性质

- 证明思路:

设字符集C的1个最优前缀码表示为二叉树T。

采用一定方法, 将T修改新树T', 使得

- 1) 在T'中具有最小频率的x和y是最深叶子, 且互为兄弟
- 2) T'还是C的最优前缀。

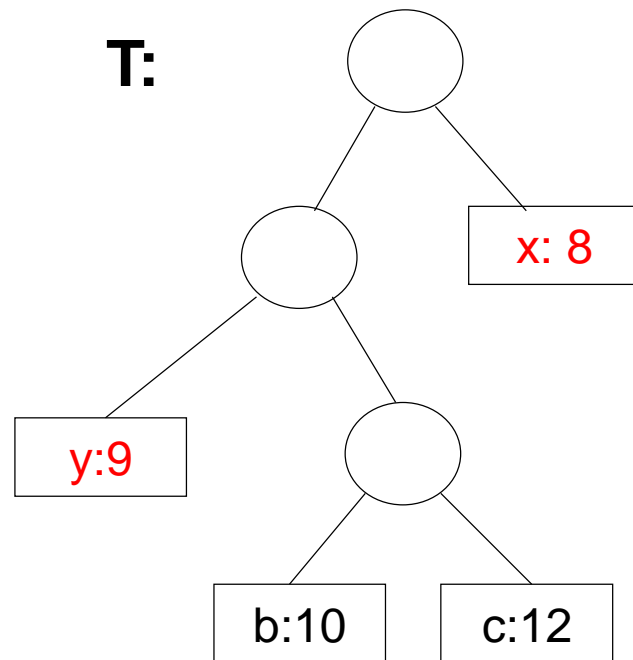
这样x、y在最优前缀码T'中只有最后一位不同。

假设: b、c是T中最深叶子且互为兄弟,  $f(b) \leq f(c)$ ;

已知: C中2个最小频率字符 $f(x) \leq f(y)$ ,

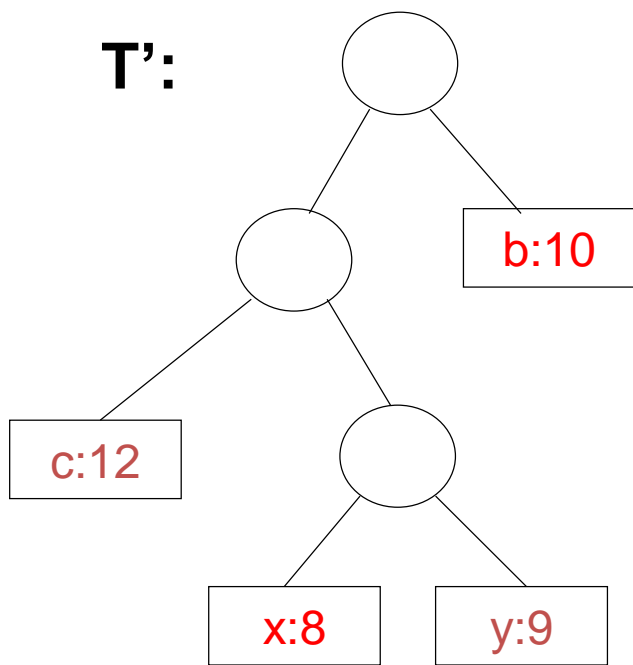
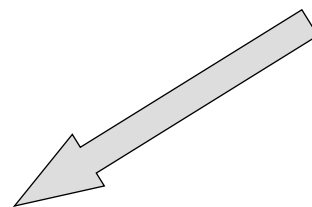
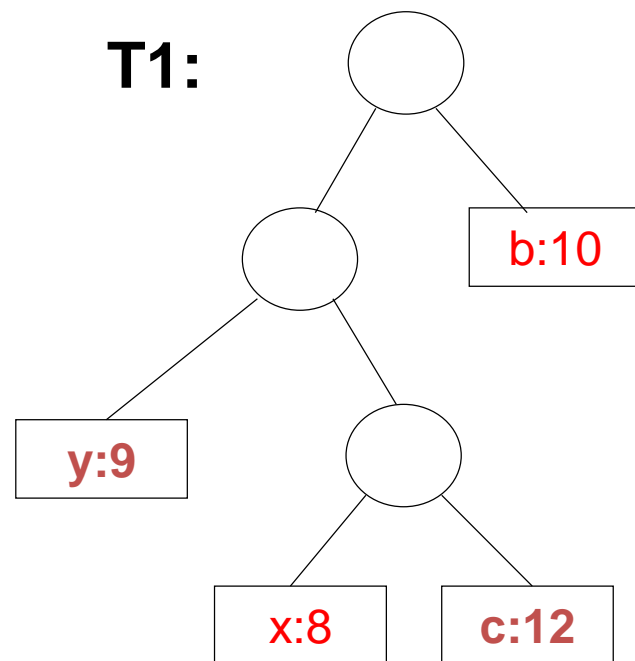
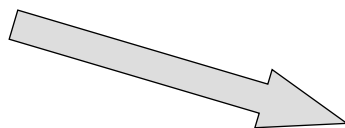
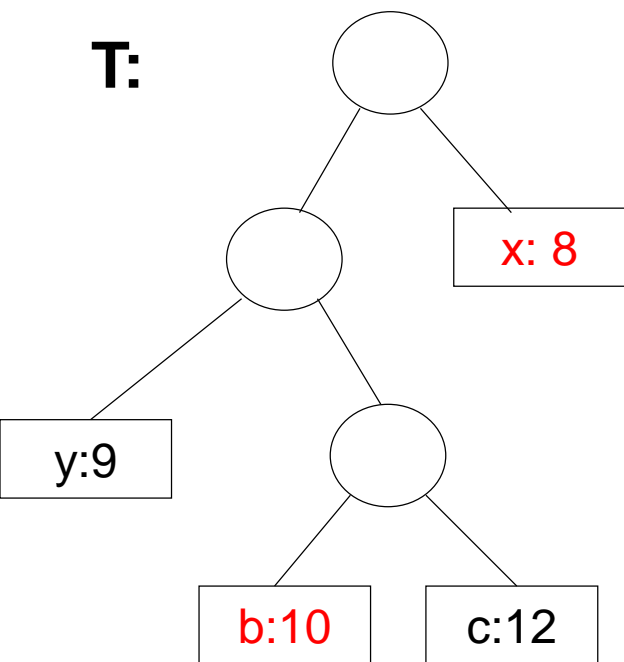
但在T中, x、y有可能并非最深结点!!     **T:**

由于x、y具有最小频率,  
故 $f(x) \leq f(b)$ ,  $f(y) \leq f(c)$





Step1. 在T中交换b和x的位置得到T1  
Step2. 在T1中交换c和y的位置，得到T'



$$\langle x, b \rangle: 8*1 + 10*3 = 38 > 8*3 + 10*1 = 34$$

$$\langle y, c \rangle: 9*2 + 12*3 = 54 > 9*3 + 12*2 = 51$$



• 可以证明:

- 1)  $B(T) - B(T_1) \leq 0$ , 即第一步交换不会增加平均码长
- 2)  $B(T_1) - B(T') \leq 0$ , 即第二步交换也不会增加平均码长

故 $T'$ 的码长仍然是最短的, 即 $T'$ 是最优前缀码, 并且其最小频率的 $x$ 、 $y$ 具有最深的深度(最长的编码), 且只有最后一位不同。

## 二、最优子结构性质

需要证明:

给定字符集 $C$ 和其对应的最优前缀码 $T$ , 可以从中得到子问题 $C'$  ( $C$ 的子集)及其对应的最优前缀子树 $T'$

# • 构造性证明:

对T中2个互为兄弟的叶节点x、y, z为其父节点。

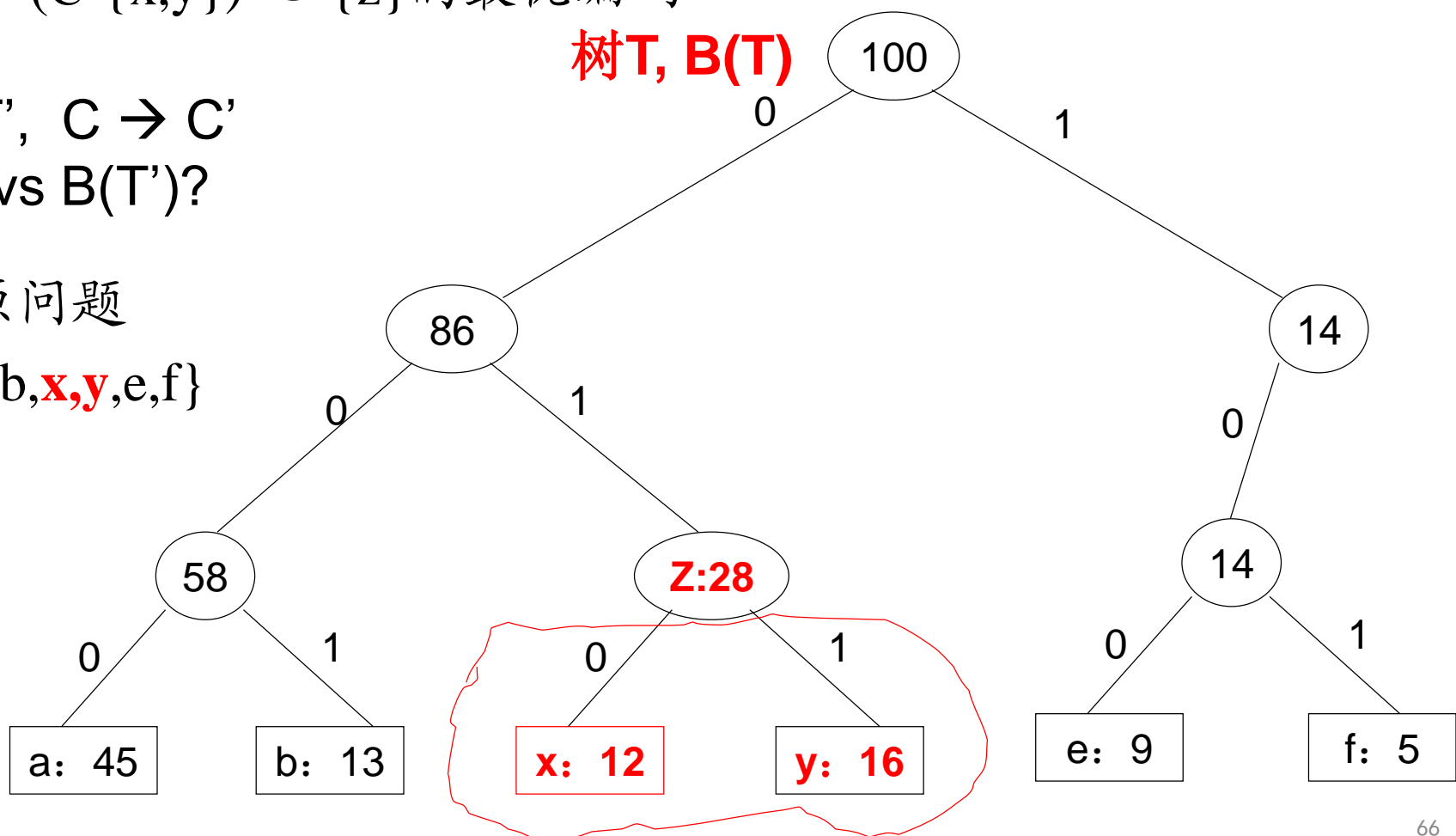
将z看做频率为 $f(z)=f(x)+f(y)$ 的字符, 则 $T'=T-\{x, y\}$ 是子问题

$C'=(C-\{x,y\}) \cup \{z\}$ 的最优编码

$T \rightarrow T', C \rightarrow C'$   
 $B(T)$  vs  $B(T')$ ?

e.g. 原问题

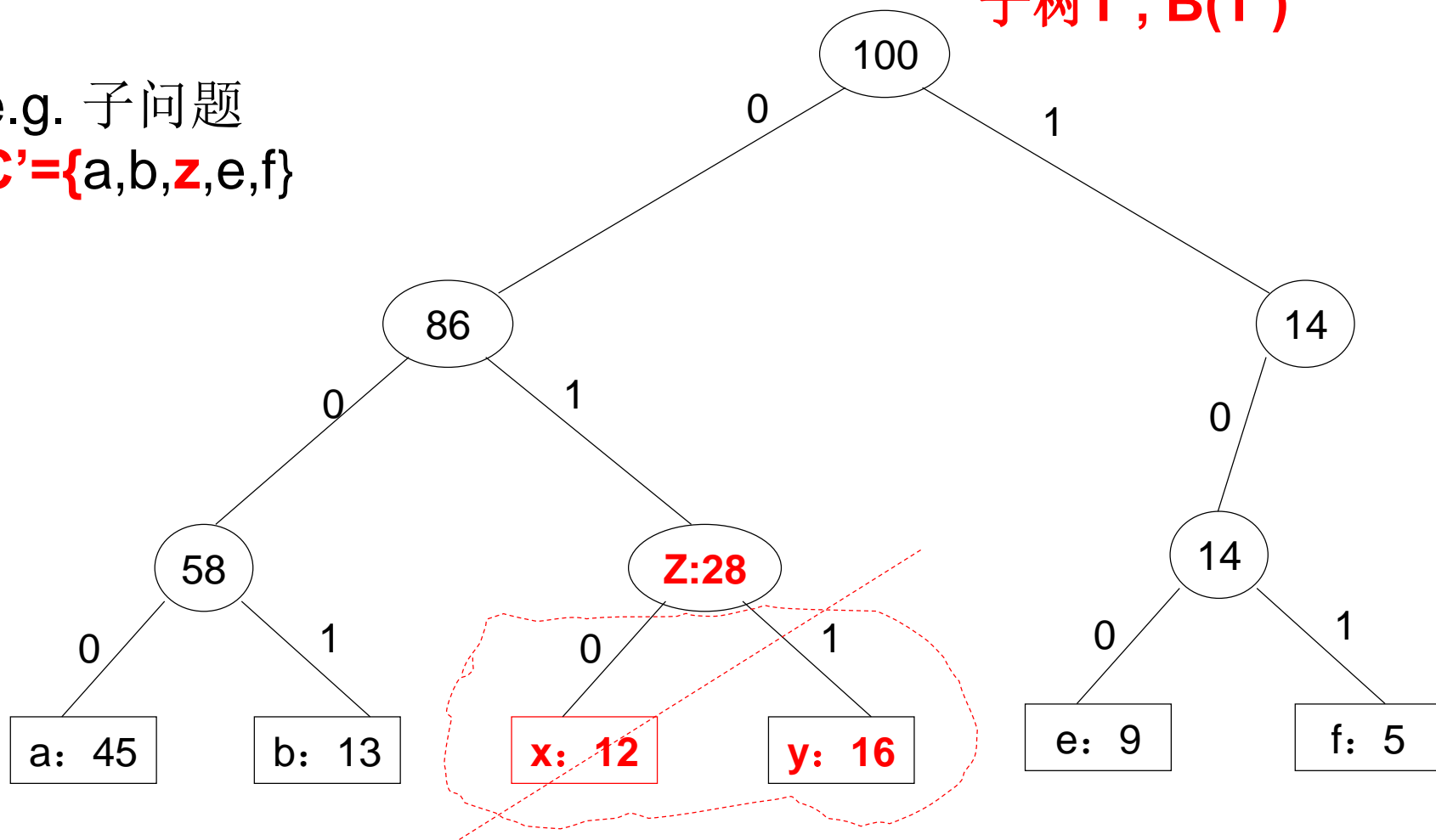
$C=\{a,b,x,y,e,f\}$





# 子树T', B(T')

e.g. 子问题  
**C'**={a,b,z,e,f}





- 证明关键点:

1) T的平均码长 $B(T)$ 可用子树 $T'$ 的平均码长 $B(T')$ 表示

$$B(T) = B(T') + 1 * f(x) + 1 * f(y)$$

上式: 递推表达式, 表示原问题最优值与子问题最优值之间的关系

2)  $T'$ 所表示的 $C'$ 的前缀码的码长 $B(T')$ 是最短/最优的

反证法证明:

假设有另一个 $T''$ , 是子问题 $C'$ 的最优前缀码, 即  
 $B(T') > B(T'')$ 。

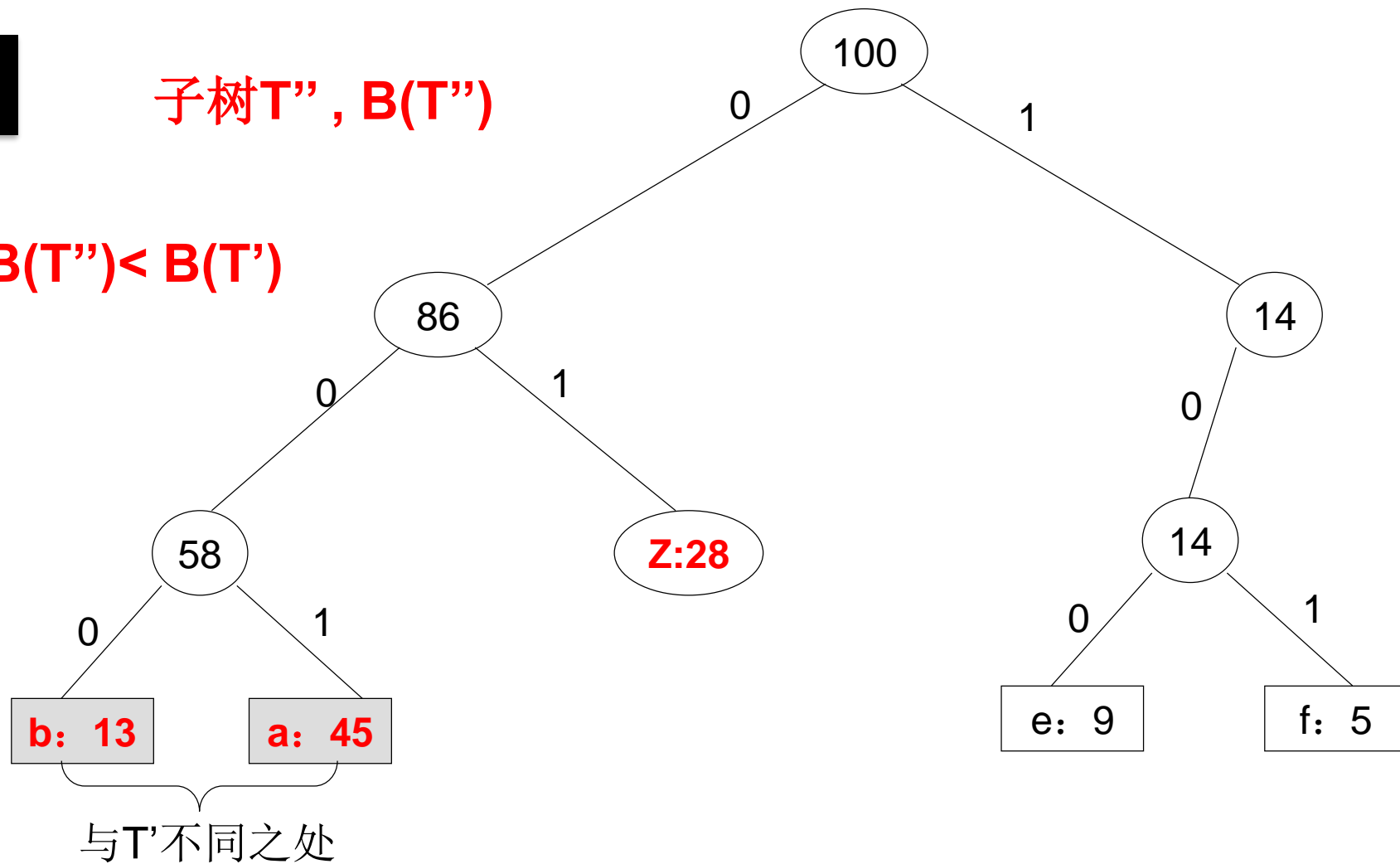
节点 $z$ 在 $T''$ 还是一个叶节点, 在 $T''$ 中将 $z$ 替换为其子节点 $x$ 、 $y$ , 得到 $T'''$ 。

e.g 见下页:



子树 $T''$ ,  $B(T'')$

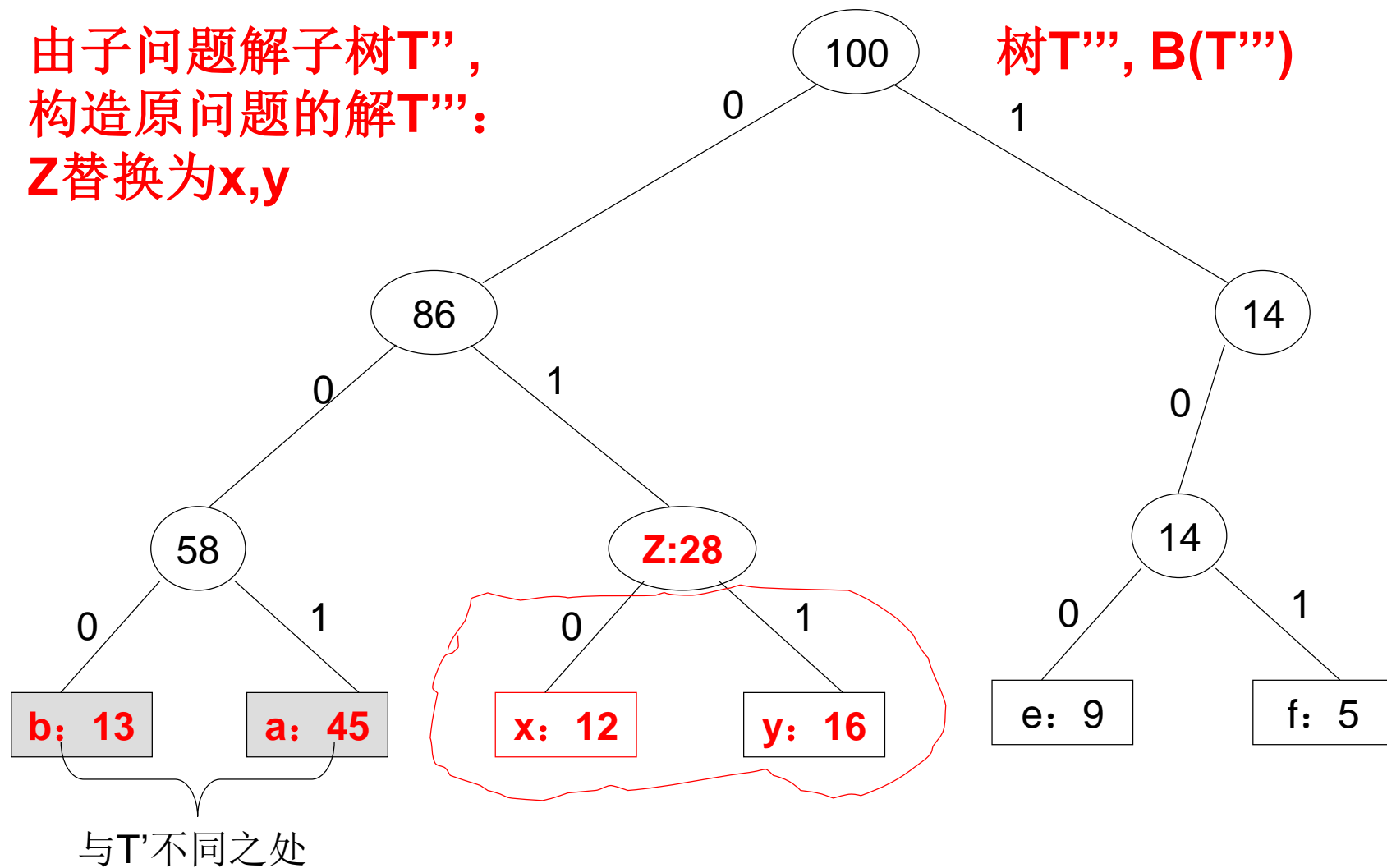
$B(T'') < B(T')$







由子问题解子树 $T''$ ,  
构造原问题的解 $T'''$ :  
 $Z$ 替换为 $x,y$



$T'''$ 是关于原问题 $C$ 的1个解, 同时 $B(T''') < B(T)$ , 与 $T$ 是最优解矛盾。

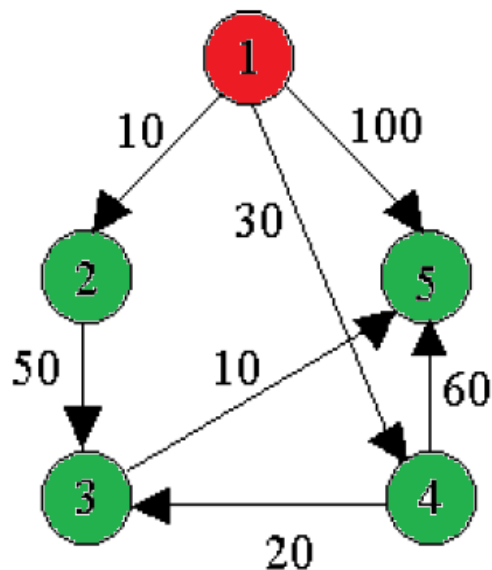


贪心算法应用

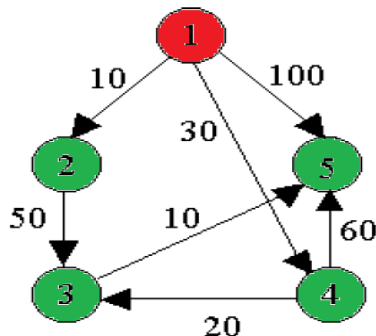
# 单源最短路径

# 单源最短路径

给定带权有向图  $G = (V, E)$ ，其中每条边的权是非负实数。另外，还给定  $V$  中的一个顶点，称为**源**。现在要计算从源到所有其它各顶点的**最短路长度**。这里路的长度是指路上各边权之和。这个问题通常称为**单源最短路径问题**。



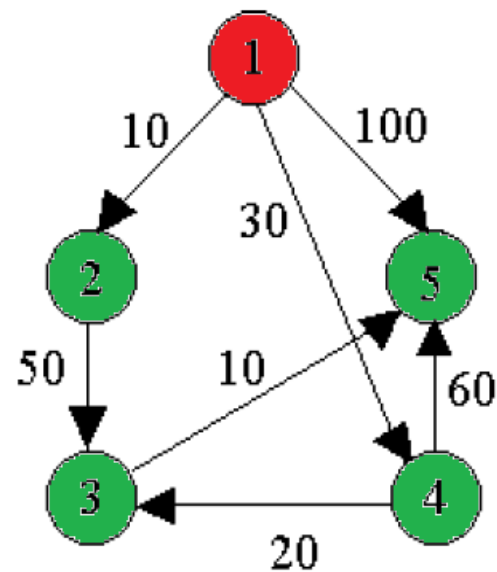
# 贪心算法的求解



其**基本思想**是，设置顶点集合S并不断地作**贪心选择**来扩充这个集合。一个顶点属于集合S当且仅当从源到该顶点的最短路径长度已知。

初始时，S中仅含有源。设u是G的某一个顶点，把从源到u且中间只经过S中顶点的路称为从源到u的特殊路径，并用数组dist记录当前每个顶点所对应的最短特殊路径长度。Dijkstra算法每次从V-S中取出具有最短特殊路径长度的顶点u，将u添加到S中，同时对数组dist作必要的修改。一旦S包含了所有V中顶点，dist就记录了从源到所有其它顶点之间的最短路径长度。

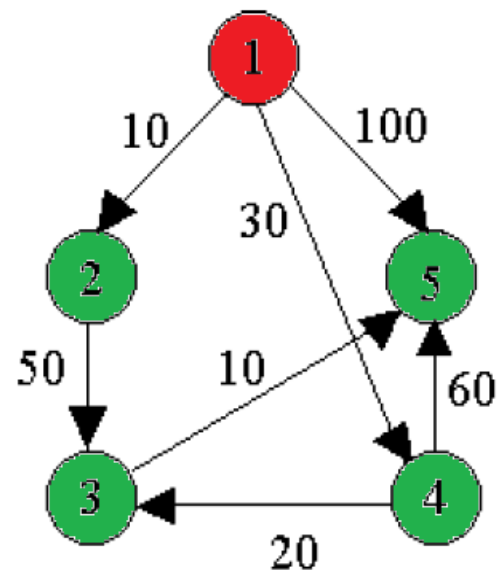
例如，对右图中的有向图，应用Dijkstra算法计算从源顶点1到其它顶点间最短路径的过程列在下表中。



Dijkstra算法的迭代过程：

迭代	S	u	dist[2]	dist[3]	dist[4]	dist[5]
初始	{1}	—	10	maxint	30	100

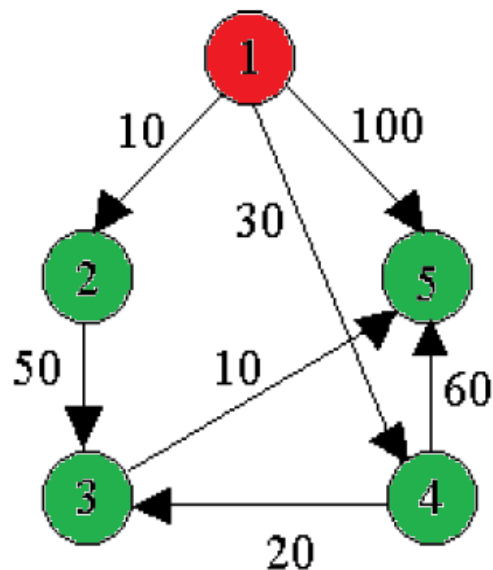
例如，对右图中的有向图，应用Dijkstra算法计算从源顶点1到其它顶点间最短路径的过程列在下表中。



Dijkstra算法的迭代过程：

迭代	S	u	dist[2]	dist[3]	dist[4]	dist[5]
初始	{1}	—	10	maxint	30	100
1	{1, 2}	2	10	60	30	100

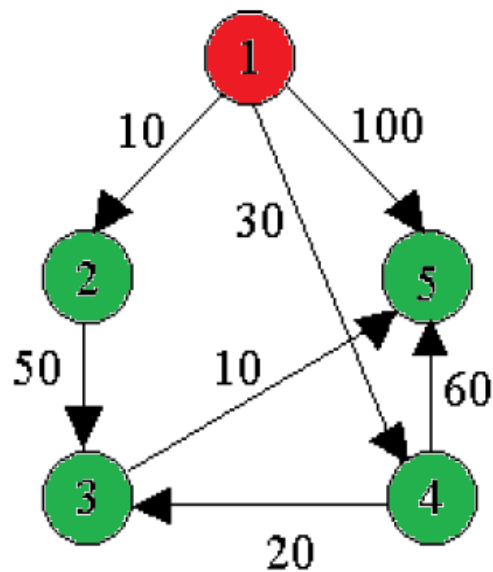
例如，对右图中的有向图，应用Dijkstra算法计算从源顶点1到其它顶点间最短路径的过程列在下表中。



Dijkstra算法的迭代过程：

迭代	S	u	dist[2]	dist[3]	dist[4]	dist[5]
初始	{1}	—	10	maxint	30	100
1	{1, 2}	2	10	60	30	100
2	{1, 2, 4}	4	10	50	30	90
3	{1, 2, 4, 3}	3	10	50	30	60

例如，对右图中的有向图，应用Dijkstra算法计算从源顶点1到其它顶点间最短路径的过程列在下表中。



Dijkstra算法的迭代过程：

迭代	S	u	dist [2]	dist [3]	dist [4]	dist [5]
初始	{1}	—	10	maxint	30	100
1	{1, 2}	2	10	60	30	100
2	{1, 2, 4}	4	10	50	30	90
3	{1, 2, 4, 3}	3	10	50	30	60
4	{1, 2, 4, 3, 5}	5	10	50	30	60





# 单源最短路径

给定带权有向图 $G=(V, E)$ ,  $V=\{1,2,3,\dots, n\}$ , 其中每条边的权 $c[i][j]$ 是非负实数。

给定 $V$ 中的一个顶点 $v$ , 称为**源**。

**要求**: 计算从源 $v$ 到所有其它各顶点的**最短路长度**。

**路长度**: 路上各边权之和。

## 一、Dijkstra算法: 贪心算法

1. 设置集合 $S$ , 记录组成最短路径的顶点

1) 初始时 $S$ 中只有源点 $v$ 。不断地作贪心选择, 扩充 $S$

2) 1个顶点属于集合 $S$ , 当且仅当从源到该顶点的最短路径长度已知



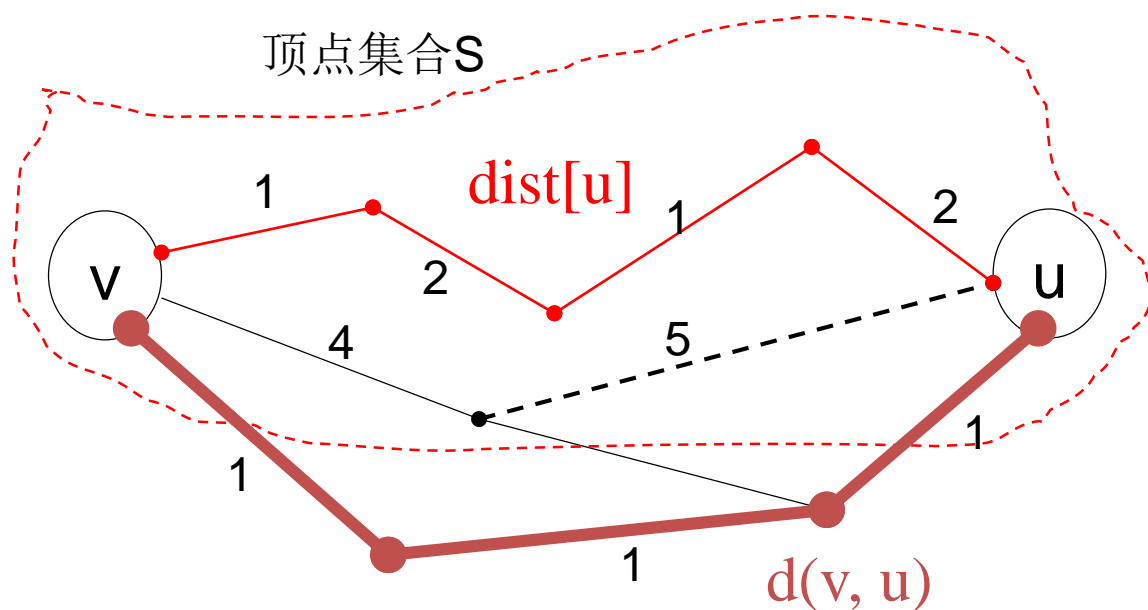
2. 设 $u$ 是 $G$ 的某一个顶点,

1) 从源 $v$ 到 $u$ 的全局最短路径长度为 $d(v, u)$ , 此最短路径有可能经过不在 $S$ 中的顶点

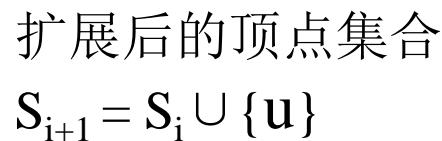
2) 从源 $v$ 到 $u$ 的、且中间只经过 $S$ 中顶点的路称为从源到 $u$ 的特殊路径。

用数组 $\text{dist}[u]$ 记录当前 $S$ 中每个顶点 $u$ 所对应的最短特殊路径长度。

因此,  $d(v, u) \leq \text{dist}[u]$



e.g. 下图中，对 $S_i$ 外的顶点 $u$ 、 $u'$ ，从当前顶点集合 $S_i$ ，选择 $u \in V - S_i$ ，不选 $u'$ 。

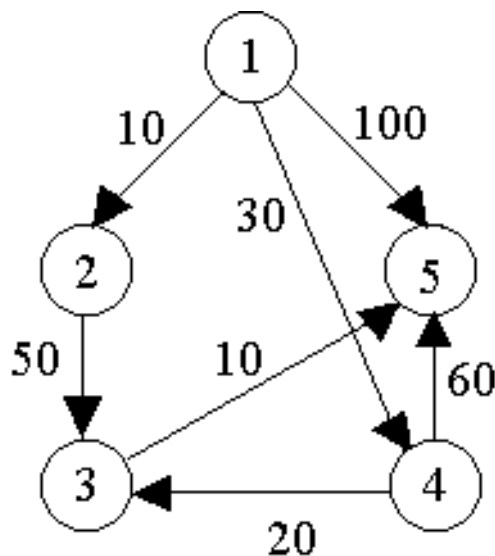




4. 当集合 $S$ 包含 $V$ 中所有顶点,  $\text{dist}[u]$ 就记录了从源 $v$ 到所有其它顶点 $u$ 之间的最短路径长度

## 实例

E.g. 对右图中的有向图，应用Dijkstra算法计算从源顶点1到其它顶点间最短路径的过程列在下页的表中。





Dijkstra算法的迭代过程:

算法特点: 迭代过程中, 每个节点u的 $\text{dist}[u]$ 值是非递增的

迭代	S	u	$\text{dist}[2]$	$\text{dist}[3]$	$\text{dist}[4]$	$\text{dist}[5]$
初始	{1}	-	10	$+\infty$	30	100
1	{1, 2}	2	10	60	30	100
2	{1, 2, 4}	4	10	50	30	90
3	{1, 2, 4, 3}	3	10	50	30	60
4	{1, 2, 4, 3, 5}	5	10	50	30	60



# 计算复杂性

用带权邻接矩阵表示具有 $n$ 个顶点和 $e$ 条边的带权有向图 $G(V, E)$ .

Dijkstra算法的主循环体需要 $O(n)$  时间。这个循环需要执行 $n-1$ 次，所以完成循环需要 $O(n^2)$ 时间。

算法的其余部分所需要时间不超过  $O(n^2)$



# 算法正确性——问题及其子问题描述!

对图 $G(V, E)$ , 源点 $v$ , 问题从以下三方面描述:

- 1) 源点 $v$ , 图中顶点集合 $V$ , 算法迭代过程中保持不变
- 2) 用于构造最短路径的当前顶点集合 $S_i$ , 不断增加, 定义不同规模的子问题
- 3) 指标: 相对于现有 $S_i$ , 对各顶点 $u$ ,  $\text{dist}[u]$

不同的 $S_i$ , 定义了不同规模的子问题;

当 $S_i=V$ 时, 算法迭代结束, 最短路径考虑了图中全部顶点

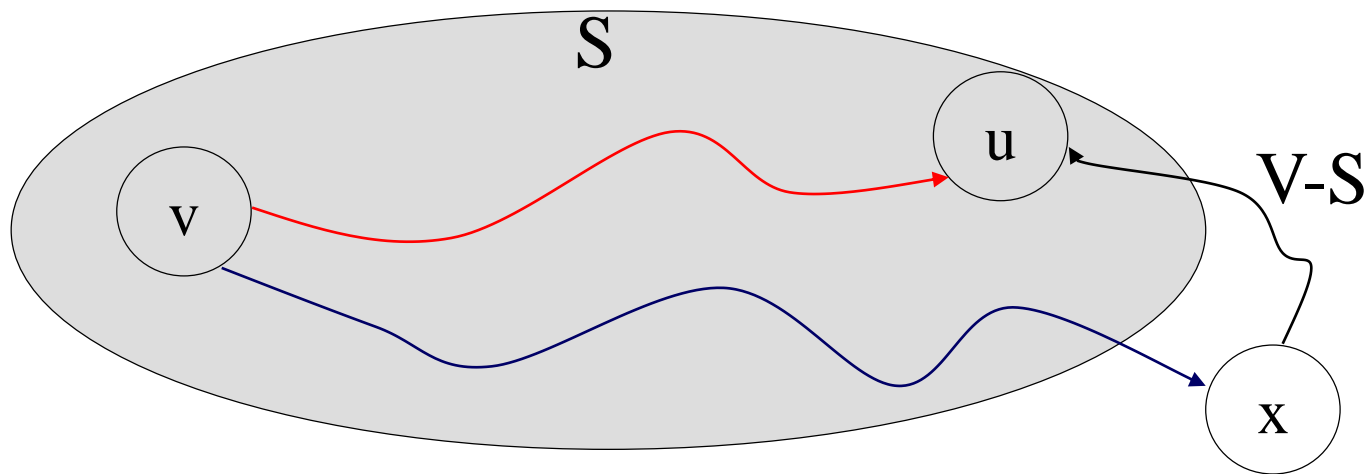
$S_i$ 越小, 问题越简单, 自下而上求解



# 算法正确性——贪心选择性质

**贪心选择策略：**在每步迭代时，从 $V-S$ 中选择具有最短特殊路径 $\text{dist}[u]$ 的顶点 $u$ ，加入 $S$

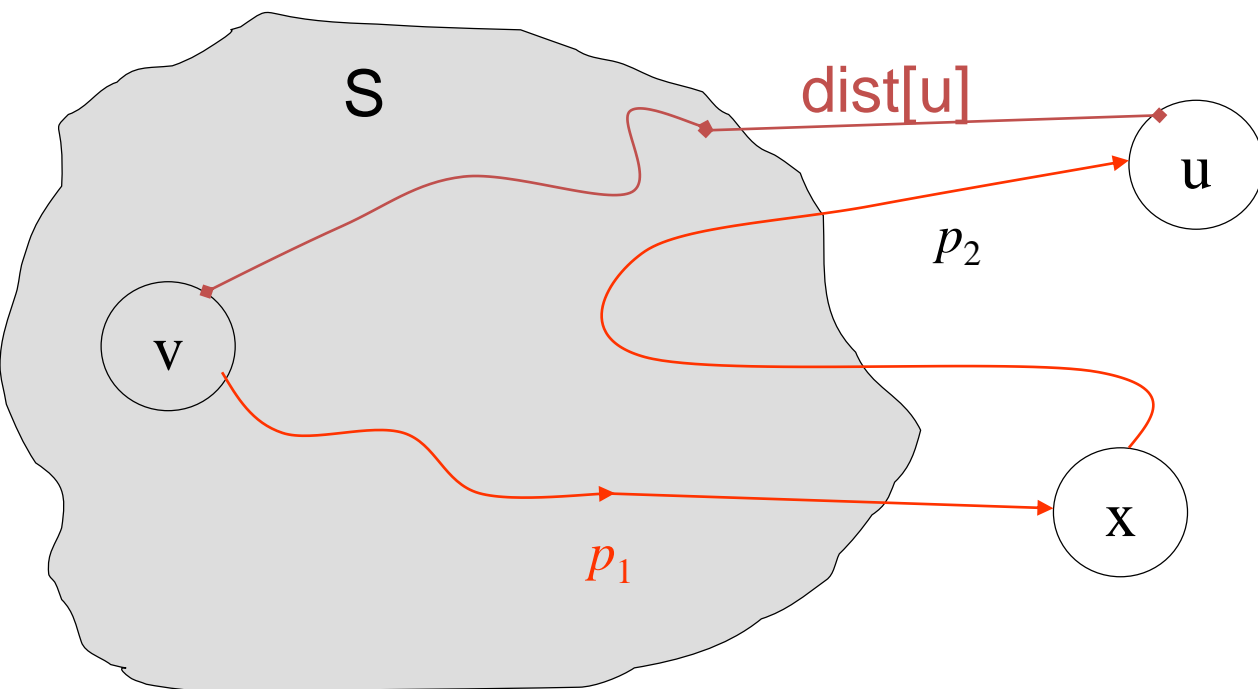
**贪心策略正确性：**需证明对顶点 $u$ ，从 $v$ 开始、经过 $G$ 中任意顶点到达 $u$ 的全局最短路径的长度 $d(v, u)$  = 从 $v$ 开始、只经过 $S$ 中顶点到达 $u$ 的最短路径的长度 $\text{dist}(u)$ ，即不存在另一条 $v$ 到 $u$ 的最短路径，该路径上某些节点 $x$ 在 $V-S$ 中，且该路径的长度 $d(v, u) < \text{dist}[u]$ .



# 反证法

假设:

- (1) 在迭代求解过程中, 顶点 $u$ 是遇到的第1个满足:  
 $d(v,u) < \text{dist}[u]$ 的顶点
- (2) 从 $v$ 到 $u$ 的全局最短路径上, 第1个属于 $V-S$ 的顶点为 $x$



$u$ 到 $v$ 的全局最短路径

$d(v,u)$ 由2段组成:

(1)  $p_1 = \text{dist}[x] = d(v,x)$ ,  
 $v \rightarrow x$

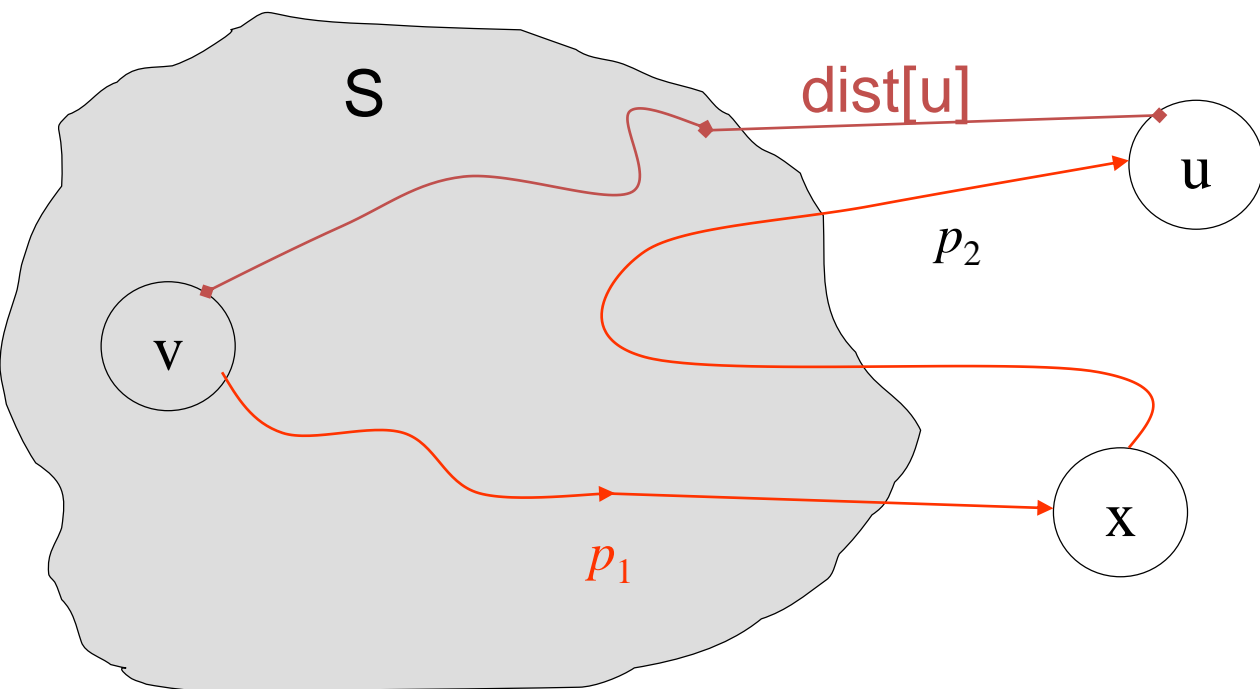
(2)  $p_2$   $x \rightarrow u$

首先，因为u是第一个满足全局最短路径不完全在S集合中的顶点，即

$$d(v, u) < \text{dist}[u],$$

而x是在u之前遇到的顶点，x的最短路径完全在S中，因此，

$$\text{dist}[x] = d(v, x) \leq d(v, u)$$



$u$ 到 $v$ 的全局最短路径

$d(v, u)$ 由2段组成：

(1)  $p_1 = \text{dist}[x] = d(v, x)$ ,

$v \rightarrow x$

(2)  $p_2$   $x \rightarrow u$



对v到u的全局最短路径，有

$$d(v, x) + \text{distance}(x, u) = \underline{d(v, u)} < \text{dist}[u]$$

根据假设

由于  $\text{distance}(x, u) > 0$ ，因此

$$\underline{\text{dist}[x] = d(v, x)} < d(v, u) < \text{dist}[u], \text{ 即}$$

x仍然满足  
贪心性质

$$\text{dist}[x] < \text{dist}[u]$$

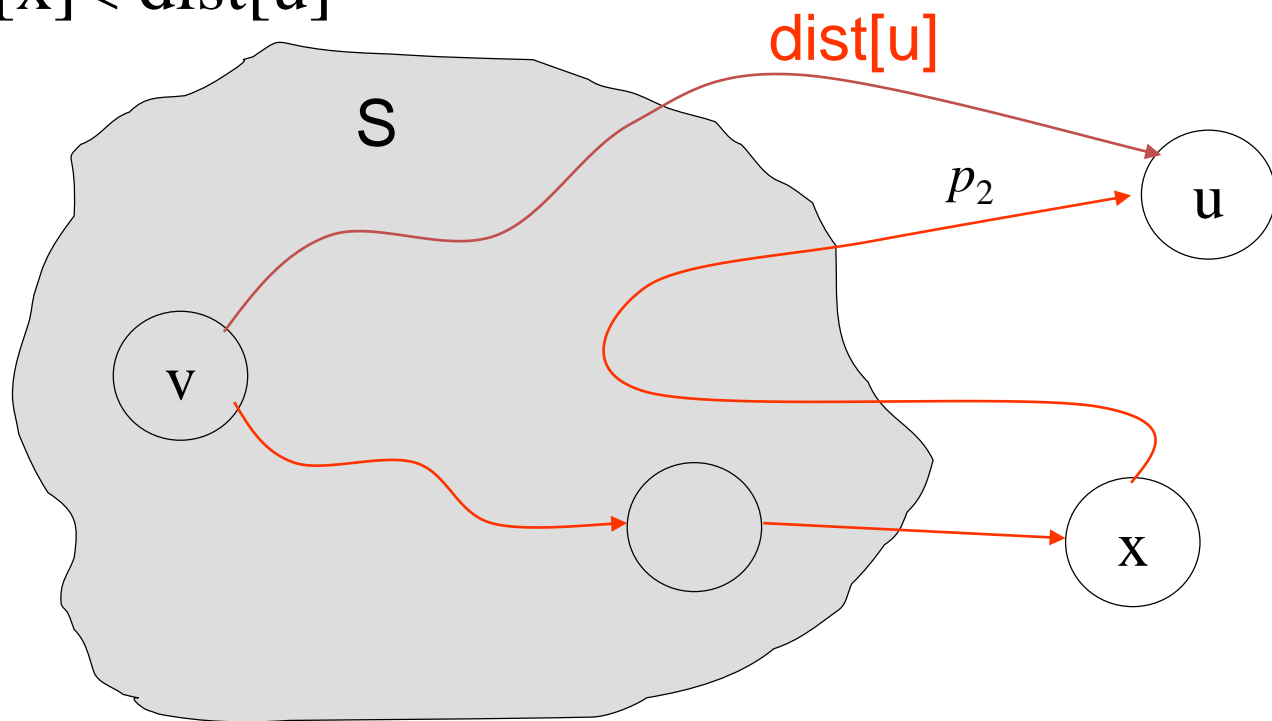
但是根据路径p构造方法，在下图所示情况下， $u$ 、 $x$ 都在集合 $S$ 之外，即 $u$ 、 $x$ 都属于 $V-S$ ，但 $u$ 被选中时，并没有选 $x$ ，根据扩展 $S$ 的原则——选dist最小的顶点加入 $S$ ，说明此时：

$$\text{dist}[u] \leq \text{dist}[x]$$

这与前面推出的

$$\text{dist}[x] < \text{dist}[u]$$

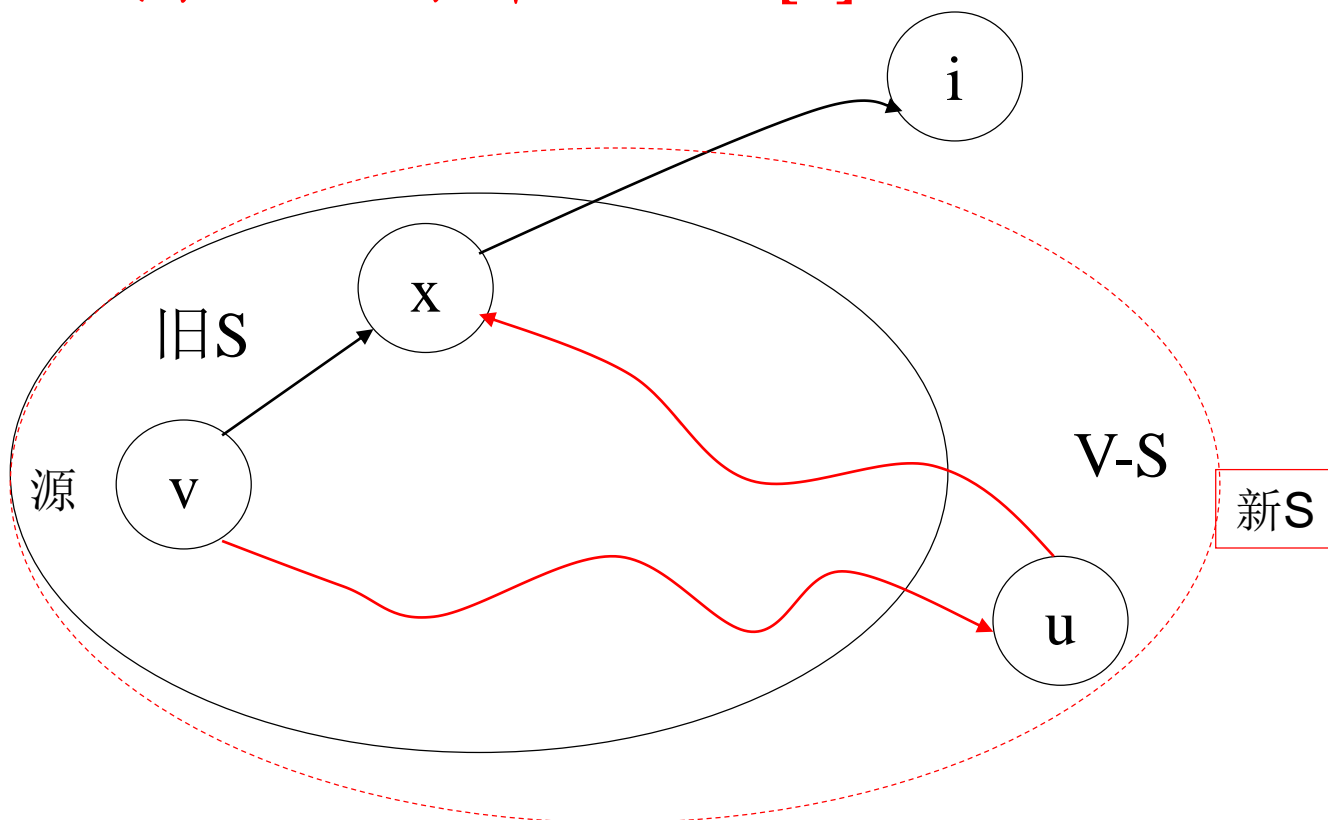
相矛盾。



# 最优子结构性质

对顶点 $u$ ，考察将 $u$ 加到 $S$ 之前和之后， $\text{dist}[u]$ 的变化，添加 $u$ 之前的 $S$ 称为旧 $S$ ，加入 $u$ 之后的 $S$ 称为新 $S$ 。

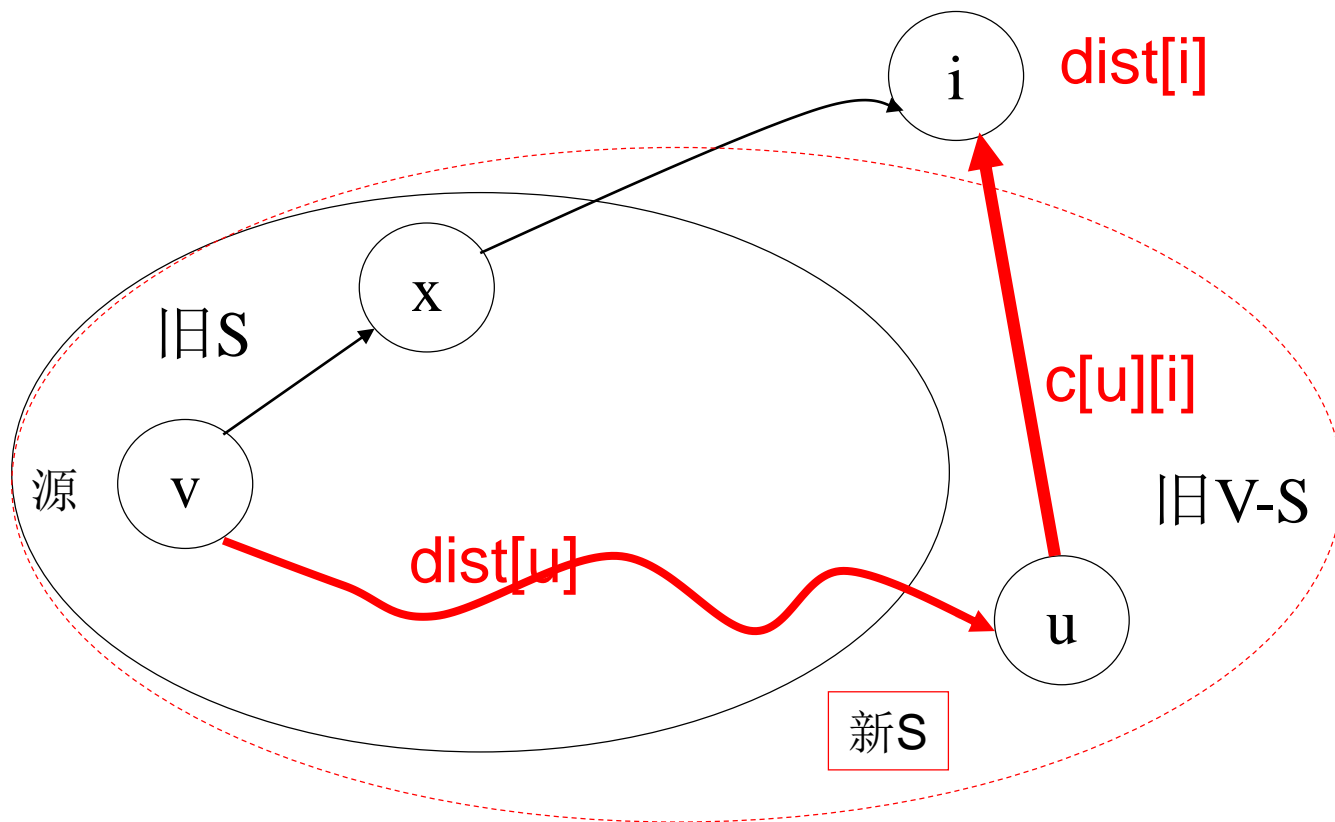
**要求： $u$ 加到 $S$ 中后， $\text{dist}[u]$ 不变化。**





对另外1个节点*i*，考察u的加入对 $\text{dist}[i]$ 的影响：

- 1) 假设添加u后，出现1条从v到*i*的新路，该路径先由v经过旧S中的顶点到达u，再从u经过一条直接边到达*i*



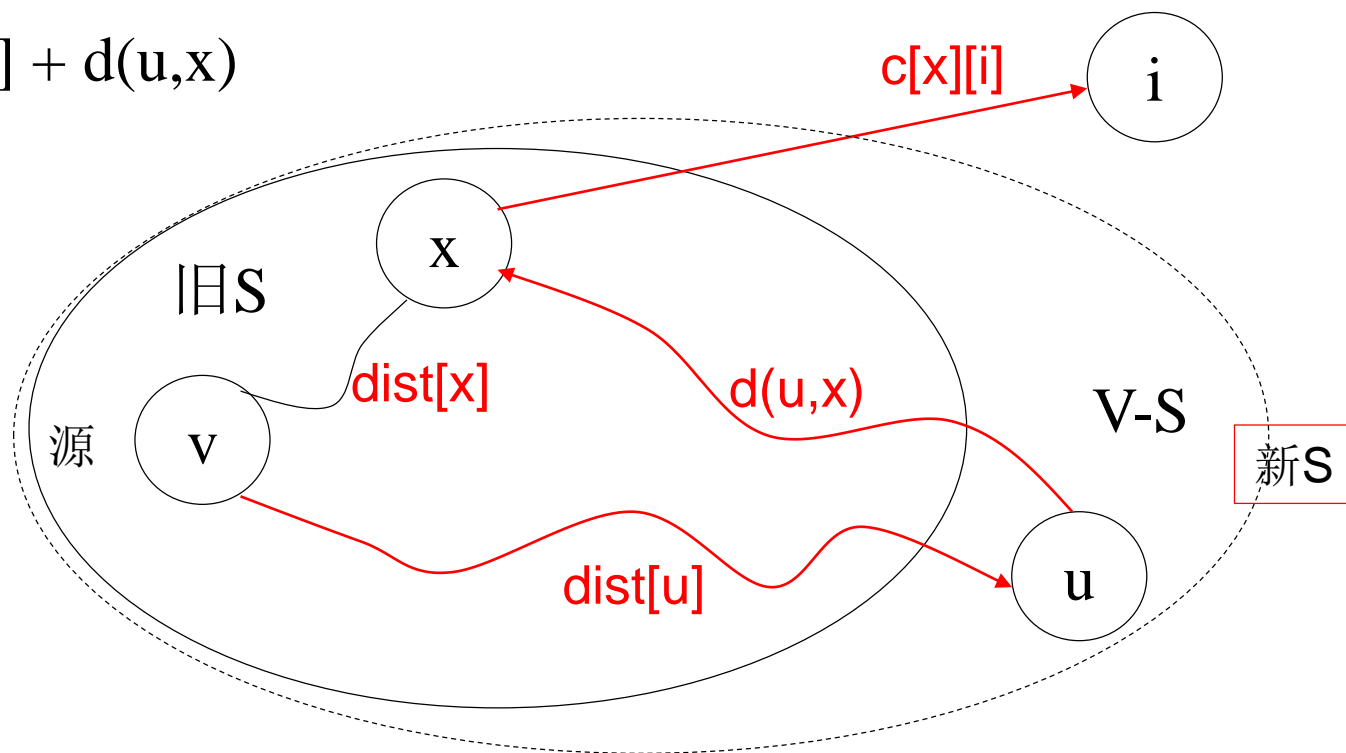
该路径的最短长度= $\text{dist}[u] + c[u][i]$



如果 $\text{dist}[u] + c[u][i] < \text{原来的dist}[i]$ ，则算法用 $\text{dist}[u] + c[u][i]$ 替代 $\text{dist}[i]$ ，得到新的 $\text{dist}[i]$ 。否则， $\text{dist}[i]$ 不更新。

2) 如果新路径如下图所示，先经过 $u$ ，再回到 $S$ 中的 $x$ ，由 $x$ 直接到达 $i$ 。 $x$ 处于老的 $S$ 中，故 $\text{dist}[x]$ 已经是最短路径， $x$ 比 $u$ 先加入 $S$ ，因此

$$\text{dist}[x] \leq \text{dist}[u] + d(u, x)$$







此时，从原 $v$ 到 $i$ 的最短路径 $\text{dist}[i]$ 小于路径 $(v, u, x, i)$ 的长度，因此算法更新 $\text{dist}[i]$ 时不需要考虑该路径， $u$ 的加入对 $\text{dist}[i]$ 无影响。

因此，无论算法中 $\text{dist}[u]$ 的值是否变化，它总是关于当前顶点集合 $S$ 到顶点 $u$ 的最短路径。

也就是说：对于加入 $u$ 之前、之后的新旧 $S$ 所对应的2个子问题，算法执行过程保证了 $\text{dist}[u]$ 始终是 $u$ 的最优解



# 贪心算法的应用

## 最小生成树算法



# 最小生成树

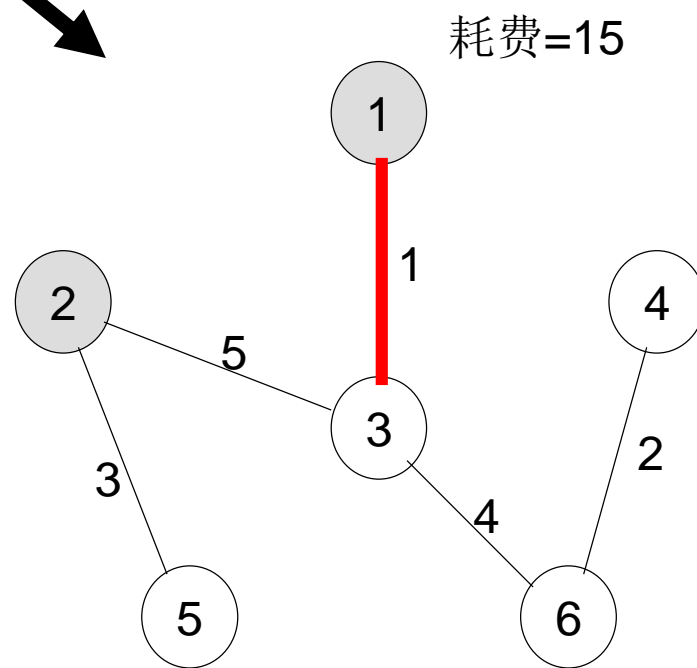
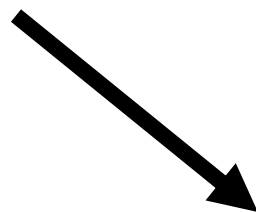
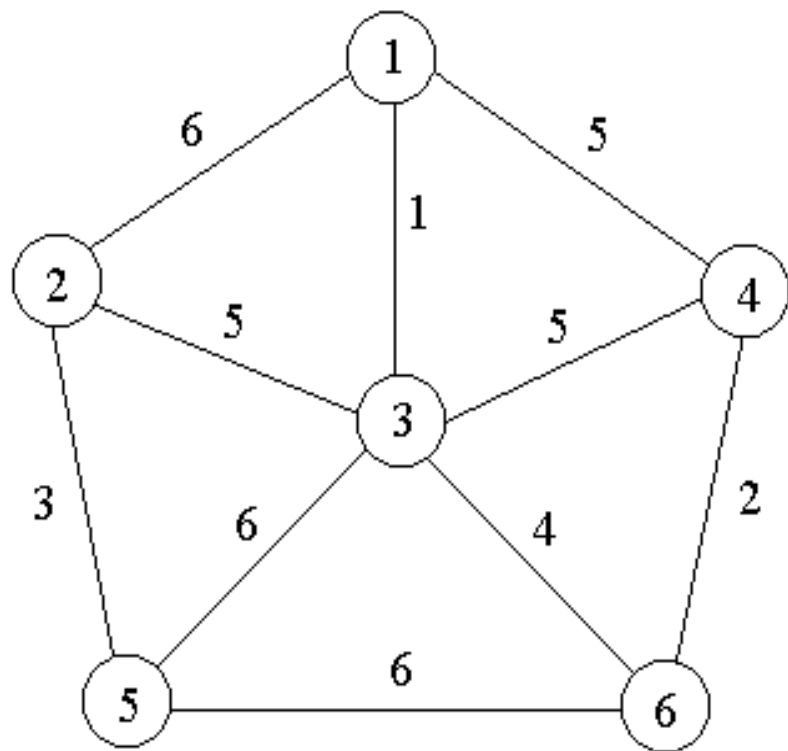
**生成树：** 设一个网络表示为无向连通带权图  $G=(V, E)$ ,  $E$  中每条边  $(v, w)$  的权为  $c[v][w]$ 。如果  $G$  的子图  $G'$  是一棵包含  $G$  的所有顶点的树，则称  $G'$  为  $G$  的生成树。

生成树的**成本/代价/耗费 (cost)**： 生成树上各边权的总和。

$G$  的**最小生成树**： 在  $G$  的所有生成树中，耗费最小的生成树。

## 应用举例：

在设计通信网络时，用图的顶点表示城市，用边  $(v, w)$  的权  $c[v][w]$  表示建立城市  $v$  和城市  $w$  之间的通信线路所需的费用，最小生成树给出建立通信网络的最经济方案。





# 最小生成树性质

基于贪心选择策略, 构造最小生成树算法

1) **Kruskal**算法

2) **Prim**算法

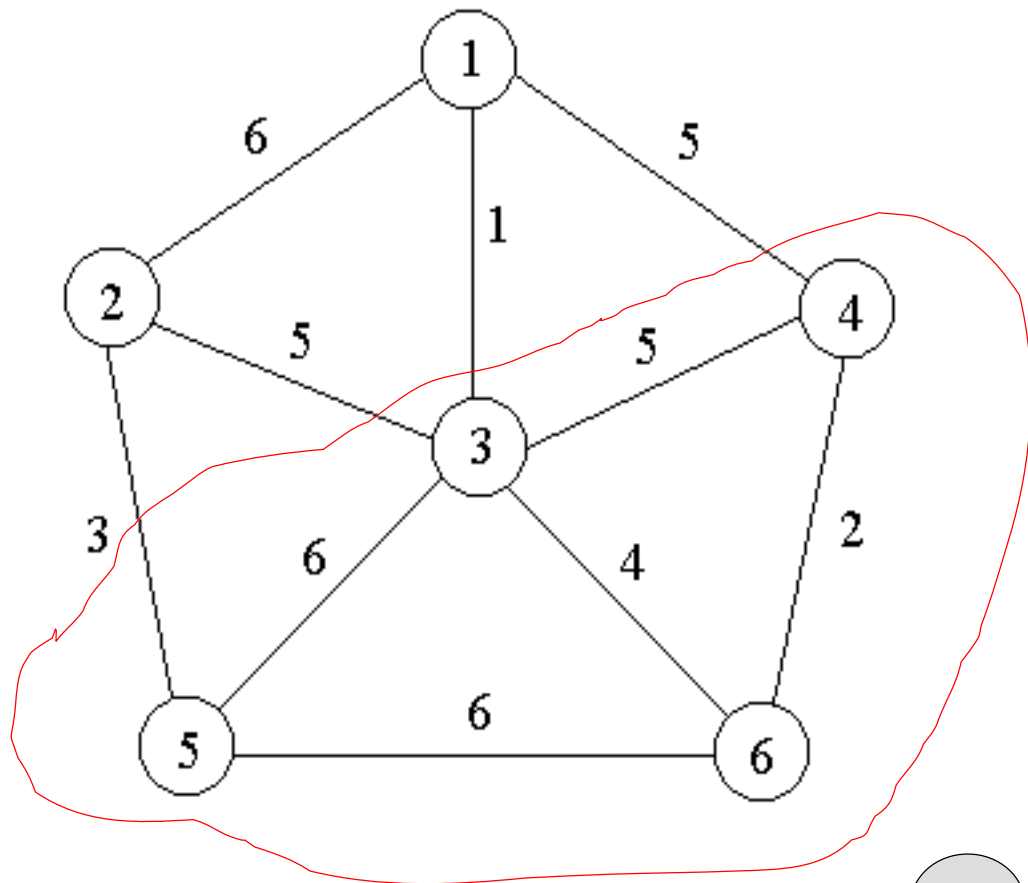
这2个算法贪心选择的方式不同, 都利用了**最小生成树(MST)性质**:

设 $G=(V, E)$ 是连通带权图, 顶点集 $U$ 是 $V$ 的真子集。 如果:

1)  $(u, v) \in E$ 为横跨点集 $U$ 和 $V-U$ 的边, 即 $u \in U, v \in V-U$ ,  
并且

2) 在所有这样的边中,  $(u, v)$ 的权 $c[u][v]$ 最小, 则一定存在 $G$ 的一棵最小生成树, 它以 $(u, v)$ 为其中一条边, **即 $(u, v)$ 出现在最小生成树中**

说明: 真子集 $U$ 可以任意选取



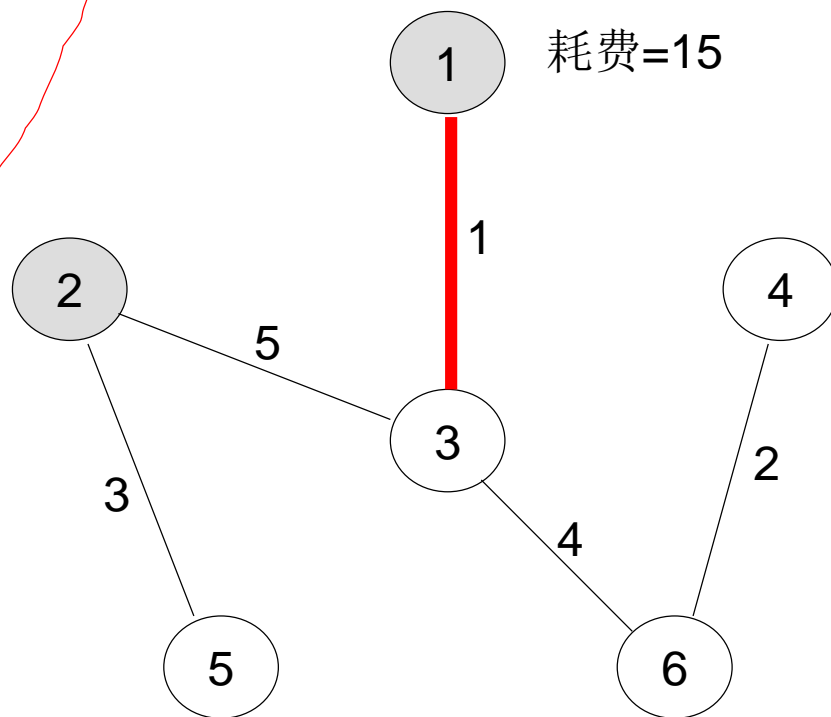
$U = \{3, 4, 5, 6\},$

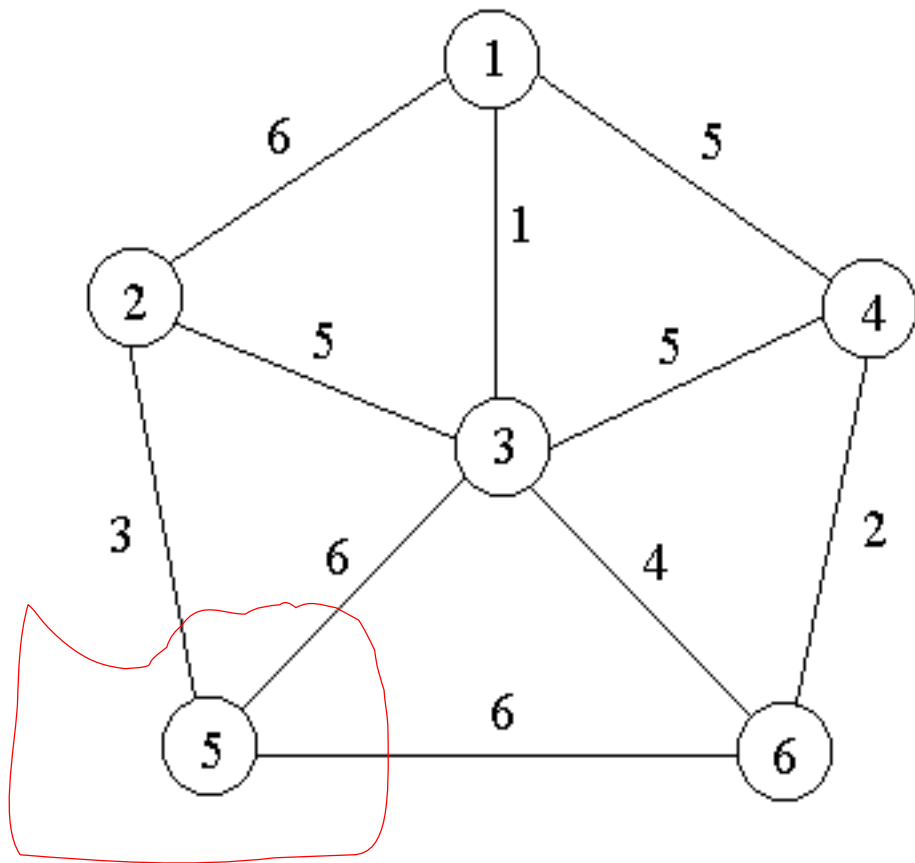
$V - U = \{1, 2\}$

边集 =  $\{ \langle 2, 5 \rangle, \langle 2, 3 \rangle,$   
 $\langle 1, 3 \rangle, \langle 1, 4 \rangle \}$

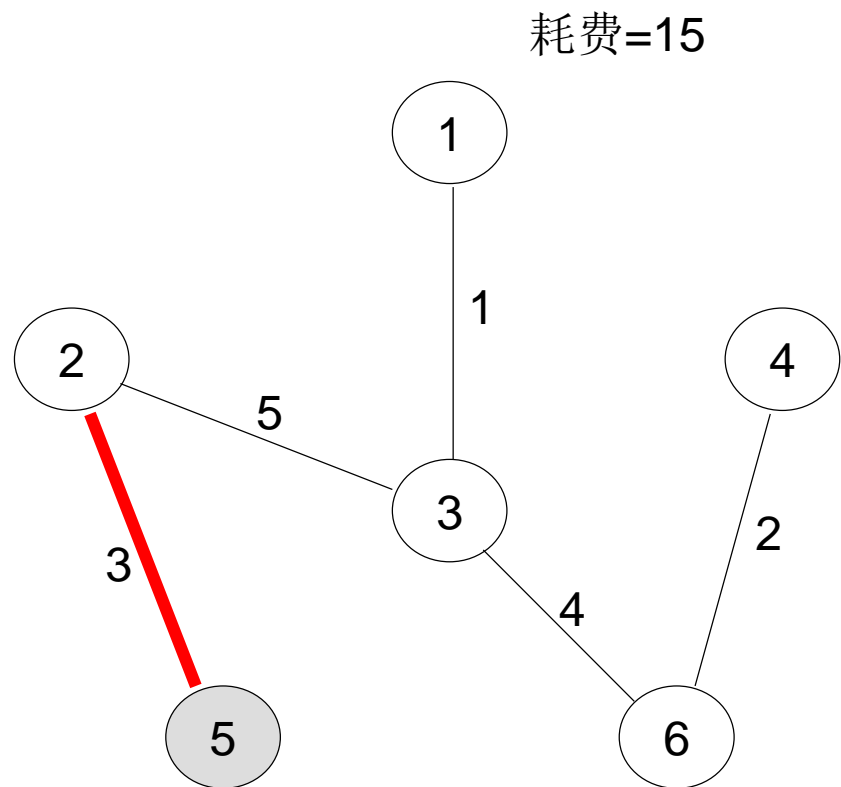
最小生成树

耗费=15





$U=\{5\}$ ,  $V-U=\{1,2,3,4,6\}$   
边集= $\{ \textcolor{red}{\langle 5,2 \rangle}, \langle 5,3 \rangle, \langle 5,6 \rangle \}$



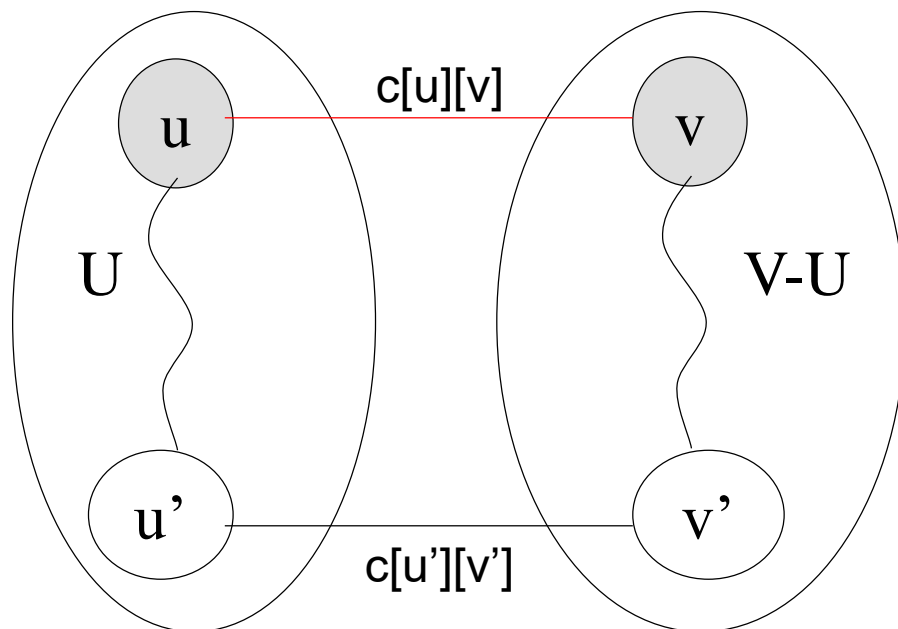
# MST性质证明

反证法:

假设对 $G$ 的任意一个最小生成树 $T$ , 针对点集 $U$ 和 $V-U$ ,  $(u,v) \in E$ 为横跨这2个点集的最小权边,  $T$ 不包含该最小权边  $\langle u, v \rangle$ , 但 $T$ 包括节点 $u$ 和 $v$ .

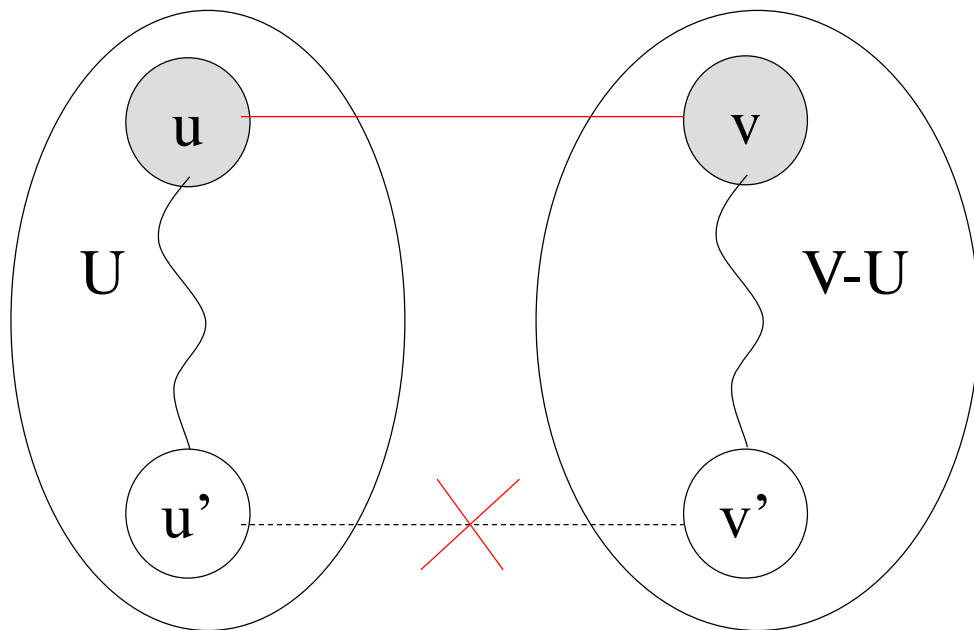
将 $\langle u, v \rangle$ 添加到树 $T$ 中, 树 $T$ 将变为**含回路的子图**, 并且该回路上有一条不同于 $\langle u, v \rangle$ 的边 $\langle u', v' \rangle$ ,  $u' \in U, v' \in V-U$

最小生成树 $T$ ,  
图 $T \cup \{\langle u, v \rangle\}$ ,  
 $c[u][v] \leq c[u'][v']$





生成树 $T'$ ,



将 $\langle u', v' \rangle$ 删去, 得到另一个树 $T'$ , 即树 $T'$ 是通过将 $T$ 中的边 $\langle u', v' \rangle$ 替换为 $\langle u, v \rangle$ 得到的。

由于这2条边的耗费满足 $c[u][v] \leq c[u'][v']$ , 因此用较小耗费的边 $\langle u, v \rangle$ 替换后得到的树 $T'$ 的耗费更小, 即:

$$T' \text{ 耗费} \leq T \text{ 的耗费}$$

这与 $T$ 是任意最小生成树的假设相矛盾



# Prim算法

设 $G=(V, E)$ 是连通带权图,  $V=\{1,2,\dots,n\}$ 。

Prim算法的**基本原理**:

Step1. 首先置顶点集合 $S=\{1\}$

Step2. 当 $S$ 是 $V$ 的真子集时, 作如下的**贪心选择**:

选取满足条件 $i \in S, j \in V-S$ , 且 $c[i][j]$ 最小的边 $\langle i, j \rangle$ , 将顶点 $j$ 添加到 $S$ 中, 边 $\langle i, j \rangle$ 加到边集 $T$ 中。

Step3. 重复上述过程, 直到 $S=V$ 为止, 此时边集 $T$ 就是最小生成树

在这个过程中选取到的所有边恰好构成 $G$ 的一棵**最小生成树**。

算法复杂性:  $O(n^2)$

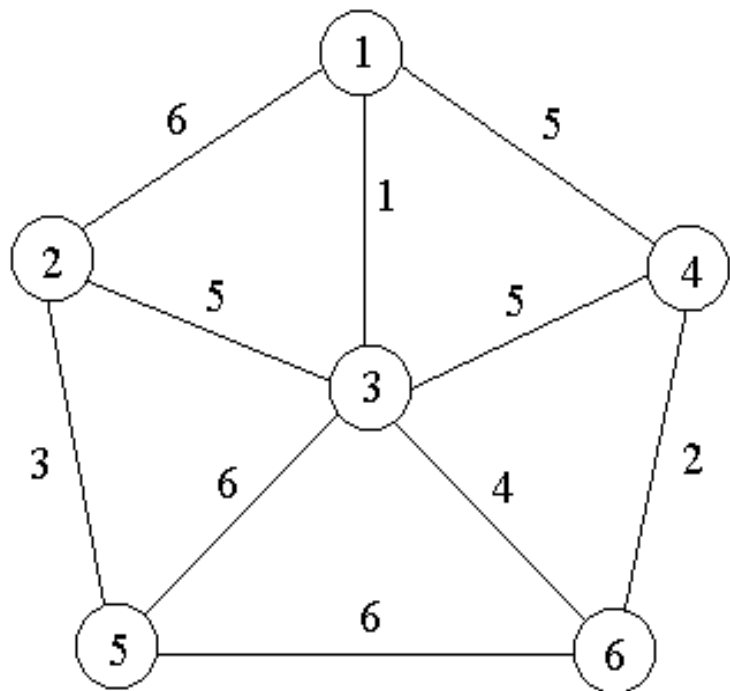


# Prim算法正确性说明

利用最小生成树性质和数学归纳法（对顶点集合 $S$ 归纳）容易证明，上述算法中的**边集合 $T$ 始终包含 $G$ 的某棵最小生成树中的边**：

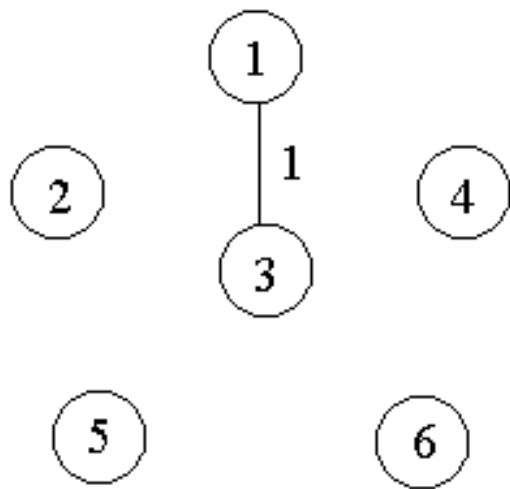
贪心选择性质、最优子结构性质

因此，在算法结束时， $T$ 中的所有边构成 $G$ 的一棵最小生成树。



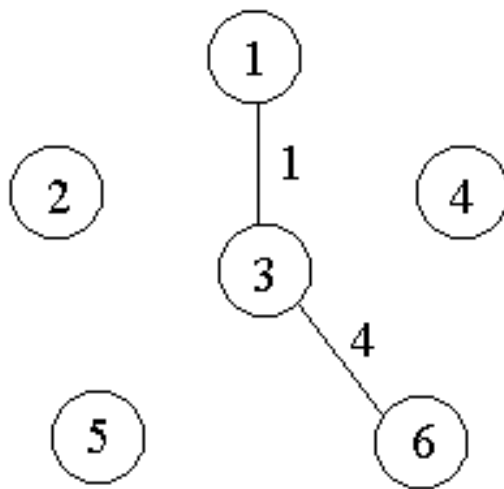
例如，对于左图中的带权图，按Prim算法选取边的过程如下页图所示。

$S=\{1,3\}$



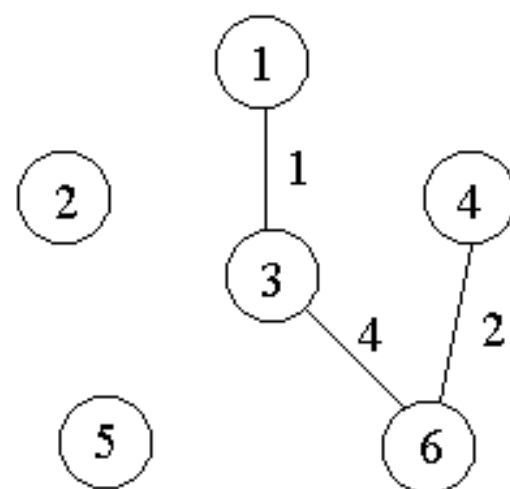
(a)

$S=\{1,3,6\}$

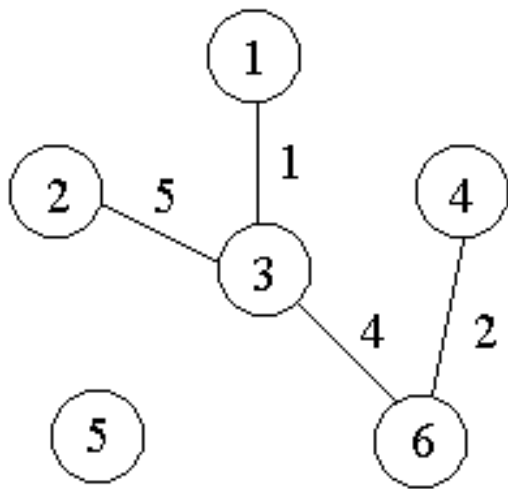


(b)

$S=\{1,3,6,4\}$

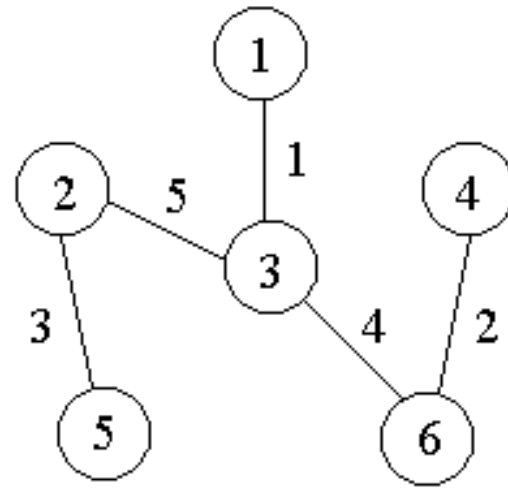


(c)



(d)

$$S=\{1,3,6,4,2\}$$



(e)

$$S=\{1,3,6,4,2,5\}$$

实现Prim算法时，应当考虑如何有效地找出满足条件 $i \in S$ ,  $j \in V-S$ , 且权 $c[i][j]$ 最小的边 $(i,j)$ 。

方法：设置2个数组closest和lowcost。

closest[j]: 记录j在S中与其最近的邻接顶点,  $j \in V - S$ 。

lowcost[j]: 记录j与S中的邻接顶点的最小权重。

在Prim算法执行过程中，先找出V-S中使lowcost值最小的顶点j，然后根据数组closest选取边 $(j, \text{closest}[j])$ ，最后将j添加到S中，并对closest和lowcost作必要的修改。

用这个办法实现的Prim算法所需的计算时间为  $O(n^2)$



# Kruskal算法 -- 基本原理

Step1. 将G的n个顶点看成n个孤立的连通分支

Step2. 将所有的边按权从小到大排序

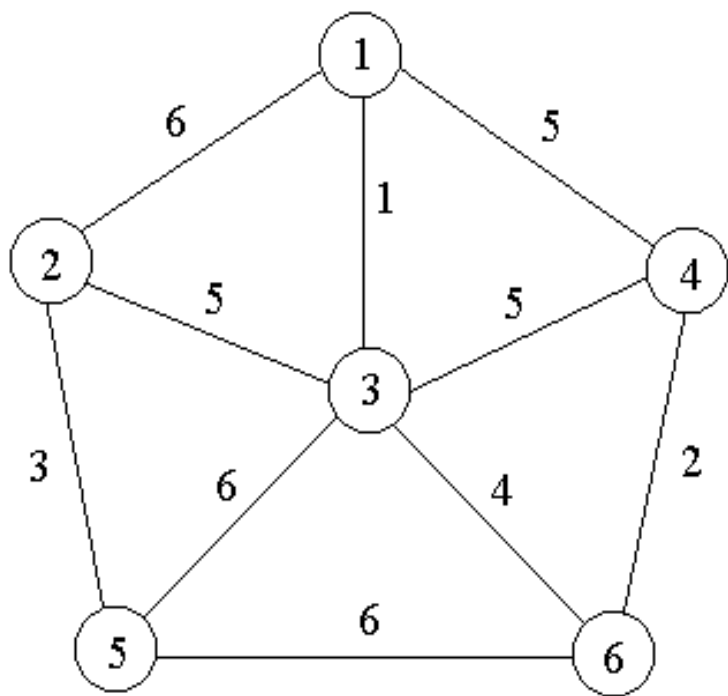
Step3. 从权最小的第一条边开始，依边权递增的顺序查看每一条边 $\langle v, w \rangle$ ，并按下述方法连接2个不同的连通分支：

当查看到第k条边 $(v, w)$ 时，

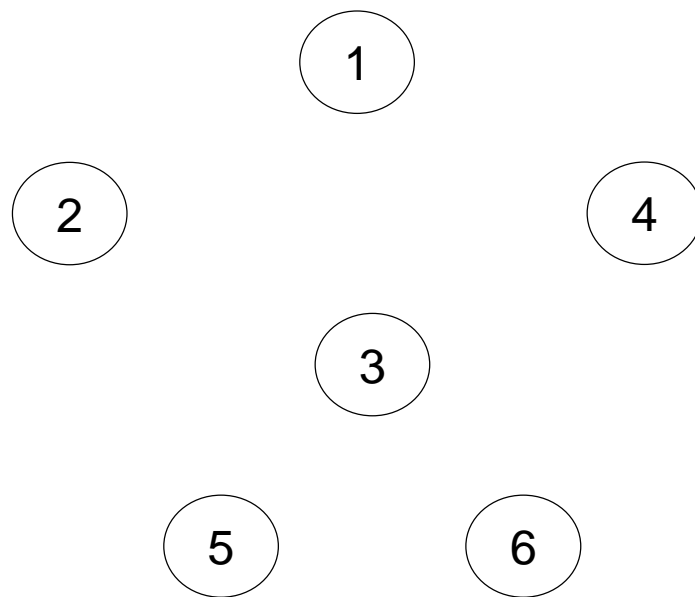
- 1) 如果端点v和w分别是当前2个不同的连通分支T1和T2中的顶点时，用边 $(v, w)$ 将T1和T2合并成一个连通分支，然后继续查看后续第k+1条边
- 2) 如果端点v和w已经属于当前的同一个连通分支中，不允许将 $(v, w)$ 加入，否则会产生回路。此时，直接再查看后续第k+1条边

# Kruskal算法

Step4. 持续上述过程，直到只剩下一个连通分支——最小生成树

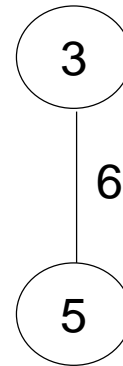
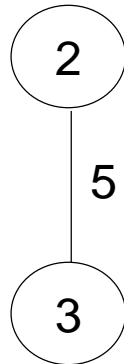
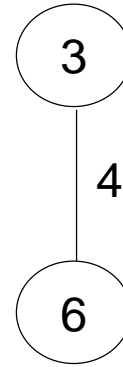
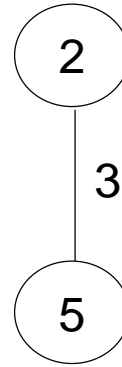


Step1.

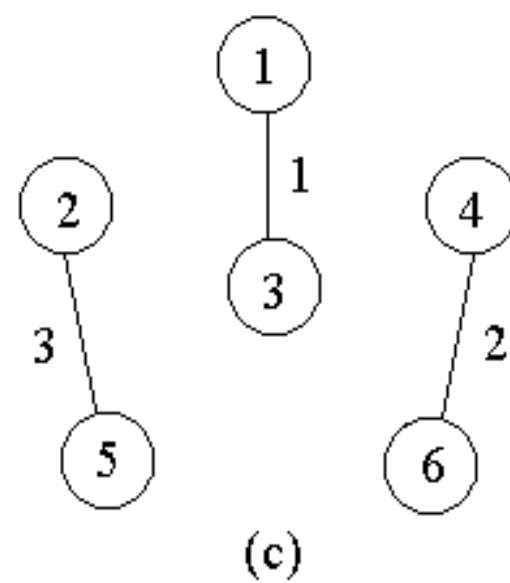
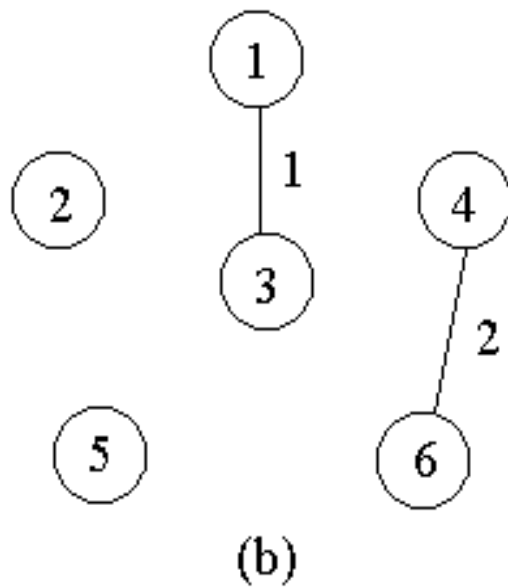
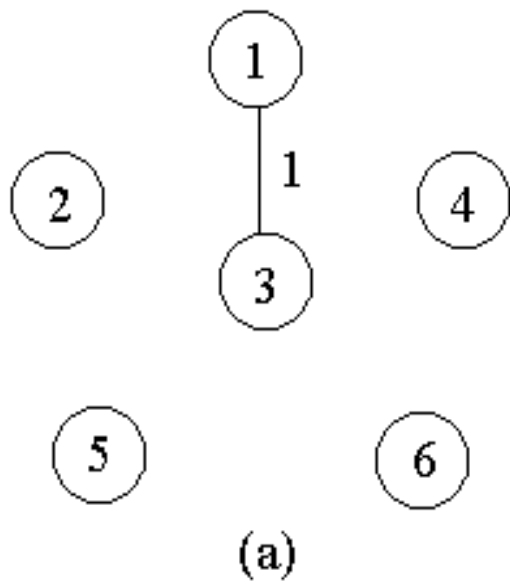
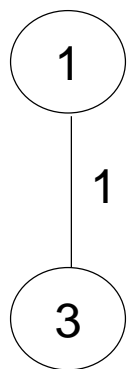


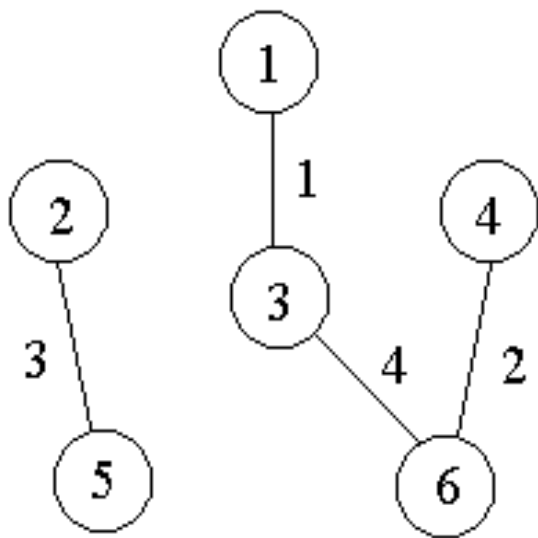


## Step2. 边排序

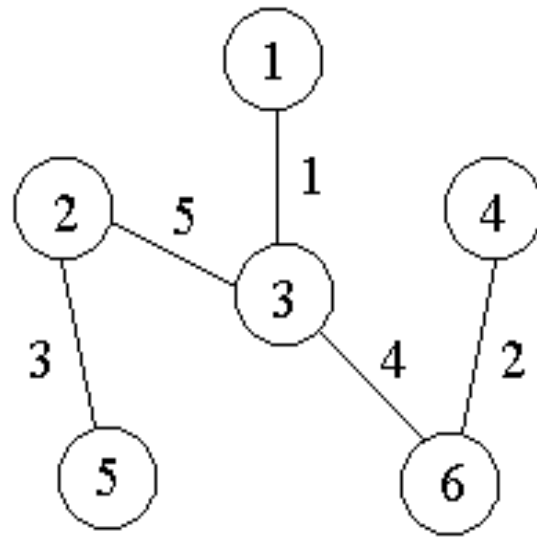


边排序:

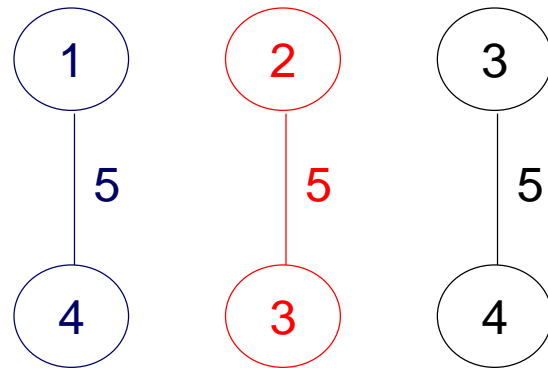
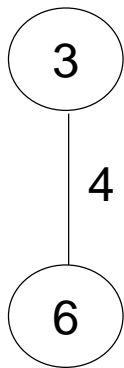




(d)



(e)



说明:

- 1) 节点1与4、3与4已经在同一连通分量中
- 2) 节点2、3分属于不同连通分量



# Kruskal算法时间复杂性

当图的边数为 $e$ 时, Kruskal算法所需的计算时间

$$O(e \log e)$$

与Prim算法比较

1. 当  $e = \Omega(n^2)$  时, Kruskal算法比Prim算法差,
2. 当  $e = o(n^2)$  时, Kruskal算法比Prim算法好得多